

Министерство геологии СССР  
КАМЧАТСКОЕ ТЕРРИТОРИАЛЬНОЕ ГЕОЛОГИЧЕСКОЕ УПРАВЛЕНИЕ

Г О С У Д А Р С Т В Е Н Н А Я  
Г Е О Л О Г И Ч Е С К А Я  
К А Р Т А С С С Р

масштаба 1:200 000

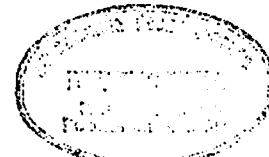
Серия Корякская

Лист Р-59-ХХ

ОБЪЯСНИТЕЛЬНАЯ ЗАПИСКА

Составили А.Г.Погожев, Е.Е.Белков  
Редактор Т.В.Тарасенко

Утверждено Научно-редакционным советом ВСЕГЕИ  
27 апреля 1977 г., протокол № II



13394

Москва 1980



## Содержание

	Стр.
Введение . . . . .	3
Геологическая изученность . . . . .	5
Стратиграфия . . . . .	8
Интузивные образования . . . . .	32
Тектоника . . . . .	43
Геоморфология . . . . .	51
Полезные ископаемые . . . . .	56
Подземные воды . . . . .	65
Оценка перспектив района . . . . .	67
Литература . . . . .	69
Список проявлений полезных ископаемых	73

Редактор Г. Д. Никулкин  
Технический редактор Н. В. Павловская  
Корректор Н. А. Судонкина

Сдано в печать 24/УП-1980 г.  
Тираж 149

Формат 60x90/16

Подписано к печати 17/УП-1980 г.  
Уч. - изд. л. 5

Заказ 0148

Ленинградская картфабрика  
объединения "Аэрогеология"

## ВВЕДЕНИЕ

Территория, охватываемая листом Р-59-ХХ равна  $3935,4 \text{ км}^2$ , она входит в состав Олюторского и Пенжинского районов Корякского национального округа Камчатской области РСФСР и расположена в центральной части Корякского нагорья, ограничиваясь  $61^{\circ}20' - 62^{\circ}00'$  с.ш. и  $169^{\circ}-170^{\circ}$  в.д. По формам рельефа эта территория подразделяется на северо-западную и юго-восточную части. Водораздельная линия Корякского нагорья проходит в северо-восточном направлении на севере рассматриваемого района.

Северо-западная часть площади в бассейне Якяквайма характеризуется низкогорным интенсивно расчлененным рельефом с широкими альпийскими и холмисто-увалистыми равнинами. Абсолютные высоты здесь достигают 1200 м, относительные превышения 500-700 м. На северо-востоке и в центральной части площади развит альпинотипный среднегорный рельеф с глубоко врезанными, иногда каньонообразными долинами водотоков, разделенными узкими оглаженными или гребневидными водоразделами с крутыми склонами. На водоразделе Пахачинского хребта, расположенного в восточной части площади, интенсивно развиты ледниковые формы рельефа: цирки, кары и реликты трогов. Абсолютные высоты здесь достигают 1700 м, относительные превышения изменяются от 400 до 1200 м.

Юго-восточная часть территории имеет средне- и низкогорный рельеф с абсолютными высотами от 300 до 1400 м и относительными превышениями до 1000 м. Рельеф характеризуется платообразными формами, образованными покровами эфузивов. Водоразделы часто платообразные, склоны их в основном ступенчатые, реже пологие. Долины водотоков широкие трогового характера.

Гидросеть территории подразделяется на две системы. Река Пахача пересекает район с северо-востока на юго-запад, впадает в Олюторский залив и относится к системе рек Берингова моря. Почти на

всем своем протяжении река течет в крутых берегах. Русло реки на отдельных участках разбивается на многочисленные протоки, изобилует косами и перекатами. Восточную границу территории пересекает ряд рек, которые служат притоками Апуквама.

К системе Охотского моря относится р. Энчайвам с притоками, протекающая на северо-западе района. Реки этой системы имеют ящикообразные долины с обрывистыми берегами. В целом реки на территории листа имеют горный характер и непригодны для сплава. Глубина русел на перекатах 0,5-1 м, на плесах и в ямах 1,5-3 м. Во время паводкового периода они очень бурные и трудно проходимы. Скорость течения в межень на перекатах равна 3-5 м/с, на плесах 0,5-1 м/с.

Озера, распространенные в долинах рек, относятся к типу стацических. На выровненных террасированных поверхностях и в открытых долинах они термокарстовые. Озера неглубокие, имеют небольшие размеры, каменистое дно, плоские заболоченные берега. Цирковые озера немногочисленны.

Климат района, по данным Каменской метеостанции, субарктический с продолжительной холодной зимой и коротким прохладным летом. Заморозки начинаются в августе, снег в горах появляется в начале сентября. Полностью снегом закрывается площадь к концу сентября - началу октября, снежевой покров держится до середины июня. Самая низкая температура в декабре минус 22,8°, среднегодовая минус 6,5°, в летнее время она поднимается до 13-15°, в отдельные дни достигает 30°. Продолжительность морозного периода 300 дней, вегетационного - 113. Количество выпадающих осадков в год около 350 мм. Господствующее направление ветров зимой северное и северо-восточное, летом - южное и юго-восточное. По всему району наблюдается многолетняя мерзлота, которая в летний период оттаивает на глубину 1-1,5 м.

По характеру растительного покрова район относится к кустарниковой подзоне и горной тундре. Склоны покрыты кедровым стланником, карликовой береской. В пойме Пахачи растут тополь, ива, рябина. В состав животного мира района входят бурные медведи, волки, лисы, зайцы, снежные бараны, росомахи, евралки, бурундук, полевые мыши, из птиц - куропатки, совы, ястребы. По р. Пахаче из моря для переста поднимается рыба лососевых пород.

Населенные пункты и дороги в районе отсутствуют. В весеннеое и осеннеое время на этой территории гонят стада оленей для выпаса пастухи-оленеводы. Пути миграции стал проходят по открытым долинам, через низкие перевалы.

По долинам рек, ручьев с глубоким врезом русел и на водоразделяльных грядах обнаженность пород хорошая, несколько хуже по склонам гор и в расширенных участках речных долин.

## ГЕОЛОГИЧЕСКАЯ ИЗУЧЕННОСТЬ

В 1952 г. первые геологические исследования миллиона и полутора миллионов масштабов были проведены В.А. Ярмолюком [35] и А.Г. Погожевым [28] в западной и южной частях территории. Здесь были установлены меловые осадочные и вулканогенно-кремнистые породы, олигоцен-нижнемиоценовые вулканогенно-осадочные образования, миоценовые морские и угленосные отложения и четвертичные эфузивные и рыхлые отложения речного и ледникового генезиса. Из полезных ископаемых были выявлены в аллювиум водотоков обломки зерен клиновари, золота и платины. Мезовайские отложения В.А. Ярмолюком подразделялись на терригенную корякскую и вулканогенно-кремнистую олоторскую толщи (обе уловлены верхнемиоценовые). Миоценовые отложения объединились в пахачинскую толщу, которая расчленялась на две фациально замещающие друг друга свиты: морскую терригенную и континентальную угленосную. А.Г. Погожев считал, что верхнемиоценовые вулканогенно-кремнистые образования более древние по отношению к терригенным отложениям корякской толщи.

В 1953 г. работы Г.А. Кондратьева [21] в масштабе 1:100 000 охватили правобережье Ханиконколава, в целом эти работы подтвердили результаты съемки и поисков полезных ископаемых полутора миллионного масштаба [28].

В 1956 г. в юго-восточной части территории провали геологическую съемку масштаба 1:500 000 А.Г. Погожев и А.М. Садреев [29]. Вулканогенно-кремнистые породы были объединены ими в ватинскую свиту сеноман-туронского возраста. К этому же возрасту относилась и аянкинская свита. Вышележащие меловые терригенные отложения были выделены в корякскую и гельмывеемскую свиты. На юге площади листа морские отложения были отнесены к пахачинской (средний-верхний миоцен), континентальные угленосные отложения - к эчвайской (плиоценового возраста), а четвертичные эфузивные образования - к апукской свитам.

В 1958 г. братья И.Ф. и Т.Ф. Мороз [26] в процессе геологической съемки масштаба 1:500 000 в юго-западном углу площади листа эфузивные образования апукской свиты отнесли к плиоцен-четвертичному возрасту.

В 1959 г. Т.Ф. Морозом и А.П. Щегловым [27] в масштабе 1:200 000 была заснята северная часть площади листа. Ими осадочные, преимущественно флишевые отложения были выделены в песчаниково-алевролитовую свиту позднемиоценового возраста, кремнистые отложения были отнесены к аянкинской, а преимущественно песчаниковые отложения к энчайской свите верхнего сенона.

В 1959 г. в северной части района Б.В.Лопатиным [24] проводились маршрутные тематические работы. Флишоидные отложения корякской серии им были расчленены на сланцево-песчаниковую, алевролито-сланцевую (флишоидную) толщи и верхнюю туфогенно-осадочную аянинскую свиту. Первая толща условно относилась к турон-нижнему сенону, вторая - к нижнему сенону и аянинская свита - к сенону.

В 1960 г. Б.Х.Егназаровым, Л.В.Криштофович и Г.К.Личтупиной [5] на юге района в результате маршрутных исследований были выделены олигоцен-раннемиоценовые отложения ильинской серии и средне-верхние миоценовые пахачинской свиты с несогласием взаимоотношением между ними. Пахачинская свита подразделялась на нижнюю (средний miоцен) и верхнюю (верхний miоцен) подсвиты.

В 1962-1964 гг. на всей площади листа Р-59-XX А.Г.Погожевым и Ю.М.Резником проведены геологическая съемка и поиски в масштабе 1:200 000 [30,31,32].

В 1962 г. [30] отложения, выделявшиеся ранее [29] в корякскую и гальминеевскую свиты с несогласием между ними, были переведены в тавенскую свиту верхнего мела с разделением ее на две подсвиты. Время формирования отложений свиты было приурочено кантон-кампанским и она считалась фациальным аналогом ватинской серии, последняя была подразделена на три толщи. Выделялись также пахачинская, корфовская и апукская свиты. Из полезных ископаемых были установлены плаковые ореолы рассеяния киновари и рудопроявления ртути на участках "Реликтовый", "Гавагус", "Прокопьевский".

В 1963 г. [31] к тавенской свите нижнего сенона (?) была отнесена только нижняя песчанико-сланцевая часть терригенного комплекса, ранее [30] выделявшаяся в нижнетавенскую подсвиту. Выделенные отложения, в которых преобладают песчаники и конгломераты (верхнетавенская подсвита) [30], были отнесены к укалятской свите олигоценового возраста на основании находок фауны *Thyasira* sp., *Solemya* sp., *Patella* sp., *Gastropoda* sp., indet. Были выделены также ватинская, пахачинская, корфовская, армановская и апукская свиты. Из полезных ископаемых выявлены рудопроявления ртути и сурьмы. На участке "Прокопьевский" содержание ртути составляло 2,36%.

В 1964 г. [32] в южной части района были выделены ильинская серия, пахачинская, корфовская и апукская свиты, последняя была подразделена на две подсвиты.

В 1963-1965 гг. в центральной части Корякского нагорья О.П.Дундо [18] в результате тематических исследований установлено широкое развитие сантон-кампанских, кампанских и маастрихтских отложений, выделенных в пааваямскую, вачваймскую и импенвеемскую свиты. В северной части площади листа была выделена мильгернайская свита

и маастрихт-дата и совместно с автором записки в 1964 г. была выделена молассовая вальянская свита дат-раннего палеоцена. Для вальянской свиты, считавшейся ранее неогеновой, были получены данные о более древнем (дат-палеоцен) возрасте.

В 1969-1972 гг. в северной части района Г.Х.Кульметовым и Я.А.Семеновым [22,23] были проведены геологическая съемка и поиски в масштабе 1:50 000. В результате этих исследований на смежных площадях были получены совершенно противоположные схемы стратиграфического расчленения отложений, развитых севернее и северо-западнее отложений ватинской серии.

В 1969-1970 гг. Г.Х.Кульметовым и Я.А.Семеновым [22] были выделены два формационных комплекса осадков. Одни из них - флишевый - ильинская серия сеноман-коньянского возраста, другой - кремнисто-терригенный - пааваямская свита сантон-маастрихтского возраста и молассовая толща палеоценового (?) возраста. Ильинская серия расчленена на четыре толщи, согласно перекрывающие одна другую. В нижней части серии выделены грубо- и тонкоритмичная, в средней -неравномерно ритмичная и в верхней - песчаниковая толщи, пааваямская свита расчленена на три толщи. В результате поисков были изучены промыслы ртути, золота, вольфрама, меди, сурьмы, мышьяка.

В 1971-1972 гг. те же авторы [23] примили к противоположным построениям. Отложения ильинской серии и пааваямской свиты они отнесли к мильгернайской свите маастрихтского возраста, молассовые осадки - к вальянской свите (дат-палеоцен), в основании разреза выделена ватинская серия (сантон-кампан), вверху - нижнечетвертичные вулканогенные образования апукской свиты. Из полезных ископаемых изучены известняки и новые рудопроявления ртути.

В 1969-1971 гг. Б.В.Брмаков, А.А.Колыда и др. [20] провели тематические стратиграфические исследования по расчленению главным образом терригенных отложений, развитых в северной части рассматриваемой площади. На основании изучения разрезов и остатков фораминифер преимущественно аргиллитовые отложения были отнесены к алонской свите нижнего сенона, песчаниковые - к тавенской кампан-маастрихтского возраста, эфузивно-кремнистые - к ватинской серии сантон-кампанского возраста, флишевые - к мильгернайской свите маастрихт-датского возраста. В составе последней свиты авторы рассматривали также отложения импенвеемской свиты. Отложения, содержащие конгломераты и грубозернистые песчаники, выделены в вальянскую свиту палеоцен-эоценового возраста.

Площадь листа в 1959 г. была заснята аэромагнитной съемкой в масштабе 1:200 000 [25] и в 1962-1967 гг. гравиметрической съемкой в масштабе 1:1 000 000 [17].

В 1963 г. Б.Х.Егназаровым [6] составлена геологическая карта м-ба I:1 000 000 на лист Р-59 и объяснительная записка к ней.

В 1971 г. для центральной части Корякского нагорья был составлен проект легенды [3] к Корякской серии Государственной геологической карты СССР м-ба I:200 000.

Геологическая карта СССР м-ба I:200 000, лист Р-59-ХХ, карта полезных ископаемых и объяснительная записка составлены с учетом всех данных мелко-, средне- и крупномасштабных геологических, геофизических съемок и тематических работ. При составлении карты были использованы данные полевых наблюдений 1964 и 1966 гг., которые не нашли своего отражения в геологических отчетах. Все материалы к Государственной геологической карте СССР м-ба I:200 000 подготовлены с учетом решений Межведомственного стратиграфического совещания, состоявшегося в июне 1974 г. в г.Петропавловске-Камчатском.

Сведения о полезных ископаемых даны на карте по состоянию на 1 января 1977 г.

## С Т Р А Т И Г Р А Ф И Я

На рассматриваемой площади листа распространены верхнемеловые вулканогенно-кремнистые и осадочные отложения, палеогеновые и неогеновые осадочные и эфузивно-пирокластические образования, четвертичные эфузивные и рыхлые отложения. Территория располагается в Центрально-Корякской и Олюторской структурно-формационных зонах с различным типом разреза. Для первой стратиграфическая колонка помещена в тексте записи (см.рис.1), для второй скомпонована с геологической картой.

## МЕЛОВАЯ СИСТЕМА

### В е р х н и й о т д е л

Вулканогенно-кремнистые образования Олюторской зоны принадлежат к ватинской серии, а терригенно-кремнистые и терригенные отложения Центрально-Корякской зоны - к импенвеемской и мильгернайской свитам.

### Кампанский ярус

Вулканогенно-кремнистые образования кампанского возраста, известные под названием ватинской серии, приурочены к центральной части площади, где они в виде полосы шириной до 10 км протягиваются в северо-восточном направлении.

По литолого-фаunalным признакам и условиям залегания ватинская серия расчленяется (снизу вверх) на вулканогенную, кремнистую и терригенно-кремнистую толщи.

В улканическая толща ( $K_2vt_1$ ) занимает самое нижнее положение в разрезе ватинской серии. Она вскрывается в ядрах антиклиналей, разграниченных выходами пород вышележащей толщи, выполняющей синклинальные структуры. Вулканогенная толща представлена андезитовыми и базальтовыми порфиритами, их туфами и лавобрекциями, в значительной степени зеленокаменно измененными и карбонатизированными; кремнистые разновидности пород, а также спилиты и диабазы встречаются реже. Основание толщи в пределах данного района не вскрыто. Переходит в толщу согласно породами кремнистой толщи. Граница между ними проводится по подошве пачки кварцитов, залегающих в основании кремнистой толщи.

Наиболее полный разрез вулканогенной толщи вскрывается на левобережье Хайнконколава по глубоко врезанным ручьям (снизу вверх) в м:

1. Базальтовые и андезитовые порфириты, часто миндалекаменные, с крупными кристаллами пироксена и плагиоклаза темно-серые, серозеленые плотные, переслаивающиеся с туфобрекциями порфиритов .....	300
2. Туфобрекции порфиритов грязно-зеленые, иногда с шаровой отдельностью переслаивающиеся по 1-5 м с разнообломочными зелеными туфами .....	400
3. Андезитовые порфириты с кристаллами плагиоклаза и пироксена, основная масса неяснокристаллическая .....	500
4. Туфы основного состава пестро окрашенные слоистые чередующиеся (1-1,5 м) с грубозернистыми голубовато-зелеными туфами .....	100
5. Кристаллокластические туфы основного состава зеленые с прослоями кремнистых туфов .....	200

Мощность отложений по разрезу 1500 м.

В низовых Хайнконколава, в антиклинальной структуре на правобережье Пахачи и в районе г.Поворотной вулканогенная толща представлена главным образом зеленокаменно измененными андезитовыми и базальтовыми порфиритами, их лавобрекциями и разнозернистыми пестро окрашенными туфами. Порфириты в основной массе плохо раскристаллизованы, содержат таблички плагиоклаза и кристаллы темно-зеленого пироксена. Породы толщи плохо стратифицированы, интенсивно смыты и буднированы. Общая мощность их составляет не менее 1500 м.

На левобережье Пахачи и в истоках Мал.Тыкальнина и Майнгигнэлляйвяма распространены также плохо стратифицированные серо-зеленые порфириты и их туфи. Они интенсивно раздроблены и пронизаны кварц-карбонатными прожилками. Видимая мощность составляет 1200 м.

В отложениях толщи палеонтологических остатков, за исключением призматических слоев иноцерамов, не обнаружено. Видимая мощность ее не менее 1500 м.

Кремнистая толща ( $K_2vt_2$ ) слагает также две полосы, протягивающиеся из низовьев Хайнконколава к истокам Бол. и Мал. Тыкальнина и Майнгигнэлляйвяма. На юго-западе площади ширина полос от 1 до 4 км, на северо-востоке эта толща вскрывается в разрозненных полях из-под покровов эфузивных пород кордовской и апунской свит. В центральной части площади развития ватинской серии кремнистая толща слагает ядро синклинальной структуры, крылья которой образованы породами вулканогенной толщи. В северо-западной полосе кремнистая толща с одной стороны залегает на подстилающих породах вулканогенной толщи, а с другой она контактирует по тектоническим нарушениям с маастрихт-датскими и палеогеновыми отложениями мильгернайской свиты, валэнской и ляшганайской толщ.

Кремнистую толщу слагают главным образом пестро окрашенные ямы, кварциты реже базальтовые и андезитовые порфириты и туфи. По простиранию породы фациально не выдержаны, тектонически сильно нарушены. В центральной части синклинальной структуры породы большей частью сероцветные за счет глинистого материала.

Отложения толщи согласно залегают на подстилающих породах вулканогенной толщи. Верхняя граница толщи с достоверностью не установлена, допускается согласный переход к отложениям терригенно-кремнистой толщи.

Наиболее полно кремнистая толща вскрывается в истоках левого притока Хайнконколава, где выше кристаллокластических туфов вулканогенной толщи вскрываются (снизу вверх) в м:

1. Ямы зеленые, чередующиеся с мелкозернистыми туфами и туфоалевролитами зеленой и бурой окраски .....	240
2. Ямы бурне и красные, чередующиеся с кремнистыми алевролитами пестрой окраски .....	160
3. Ямы и ямко-кварциты зеленого и бурого цвета с прослоями темно-серых кремнистых алевролитов .....	120
4. Ямы красные с прослоями серых кварцитов, зеленых порфиритов и пестро окрашенных туфов .....	90

5. Ямы пестро окрашенные, переслаивающиеся с серыми кварцитами и пестро окрашенными туфами .....

I50

6. Ямы красные, зеленые, переслаивающиеся по 10-15 м с серыми кварцитами, кремнистыми туфоалевролитами и пелитолитами; в буроокрашенных известковистых пелитолитах содержатся призматические слои и отпечатки раковин *Inoceramus ex gr. schmidti Mich.* (определение В.Н.Верещагина) .....

I40

Мощность отложений по разрезу 900 м.

В центральной части синклинальной структуры кремнистая толща представлена главным образом кремнистыми алевролитами и пелитолитами темно-серой окраски с редкими пластами зеленых порфиритов и туфов. В кремнистых пелитолитах на правобережье Хайнконколава содержатся крупные отпечатки раковин *Inoceramus ex gr. schmidti Mich.*, I. cf. *schmidti Mich.* (определения В.Н.Верещагина).

В междуречье Пахачи и Кагиненеклава в кремнистых пелитолитах, находящихся в переслаивании с пестро окрашенными яммами и кварцитами, Г.П.Тереховой определены остатки *Patella (Helcion) gigantea Schmidt var. retracta Schmidt*. У восточной рамки листа в кремнистых образованиях кремнистой толщи, вскрываемойся на небольшую мощность, были обнаружены только призматические слои иноцерамов.

Приведенные остатки фауны свидетельствуют о сантон-кампанском возрасте отложений.

Общая мощность отложений кремнистой толщи 900 м.

Терригено-кремнистая толща ( $K_2vt_3$ ) распространена в среднем течении Бол.Хайнконколава на правобережье Пахачи севернее г.Поворотной и в истоках Майнгигнэлляйвяма. Она слагает узкие синклинальные складки. Границы толщи большей частью тектонические, лишь на правобережье Бол.Хайнконколава и севернее г.Поворотной предполагается согласное ее налегание на породах кремнистой толщи. Нижняя граница проводится по смене существенно кремнистых отложений терригенно-кремнистыми.

Общее представление о строении толщи можно получить по разрозненным выходам северо-западнее г.Поворотной, где она сложена ритмичнослоистыми темно-серыми кремнистыми туфопесчаниками, алевролитами и пелитолитами. Песчаники серые, зеленовато-серые, нередко туфогенные. Они содержат обломки кремнистых пород и песчанистые известковистые стяжения шарообразной формы (5-10 см). Песчаники чередуются с темно-серыми до черных мелкозернистыми песчаниками (0,2-0,5 м), алевролитами и пелитолитами, мощности пластов которых

колеблется от 0,2 до 1 м. Тонкообломочные породы часто тонко сланцованы и напоминают глинистые сланцы. По характеру строения и литологическим особенностям толща близка к терригенным отложениям вальянской толщи, развитым к северо-западу от поля распространения ватинской серии. Остатков фауны в составе отложений толщи не обнаружено. По условиям залегания она условно отнесена к верхам ватинской серии. Мощность толщи 600 м.

Возраст образований ватинской серии по остаткам *Inoceramus schmidtii* Mich., *Patella (Helcion) gigantea* Schmidt var. *retracta* Schmidt обнаруженных в основном в отложениях кремнистой серии, определяется в пределах кампана. Общая видимая мощность ватинской серии 3000 м.

#### Маастрихтский ярус

##### Импенвеемская свита ( $K_2im$ )

Свита участвует в строении Учичильского горстового поднятия и прослеживается в истоках Энчайвайма и Пахачи вдоль северной рамки рассматриваемой площади в виде полосы, расширяющейся к западу от 1-2 до 8-10 км. Подстилающие отложения на данной территории не установлены. Перекрывается она согласно с отложениями мильгернайской свиты.

В строении свиты принимают участие фациально не выдержаные кремнистые и известково-кремнистые песчаники, алевролиты, пепловые и кластические туфы, гравийные и мелкогалечные конгломераты, пелитоморфные известковистые линзы и конкреции, редко встречаются линзы спилитов. Породы большей частью неяснослоистые с тесными взаимоперходами. Кремнистые туфовые их разности имеют светлую и белесую окраску, песчаники, алевролиты и пелитолиты имеют темно-серую и зеленовато-голубоватую окраску.

Наиболее полно отложения импенвеемской свиты вскрываются на левобережье Энчайвайма в районе, прилегающем к отметке 1424 м., где установлены (снизу вверх) в м:

1. Алевролиты темно-серые и голубовато-серые кремнистые массивные и тонкослоистые за счет прослоев светло-серых пепловых туфов ..... 190
2. Чередование алевролитов, содержащих прослои (0,1-0,2 м) пелитоморфных известняков и песчаников *Inoceramus tegulatus* (v. Hagenow) Odum, I. sp. indet. (определен A.Ф. Ефимовой) ..... 240

3. Неслоистые чередования алевролитов и песчаников с прослоями (до 0,2 м) пелитоморфных известняков .....	70
4. Алевролиты темно-серые с карбонатными конкрециями, линзами известняков и прослоями туфопесчаников. В конкреционных слоях содержатся остатки <i>Gaudryceras denmanense</i> Whist., <i>Pachydiscus (Neodesmoceras) japonicus</i> Mat., <i>Inoceramus ex gr. pilvoensis</i> Sok., <i>Semifrons (Trochofusus)</i> cf. <i>sachalinensis</i> Nagao, <i>Solemya</i> sp., indet. и шестилучевой коралл <i>Montlivaltia</i> sp. indet. (определения О.П.Дундо, Г.Н.Тереховой) .....	60
5. Алевролиты темно-серые, голубоватые кремнистые с редкими прослоями (0,2-0,3 м) мелко-зернистых песчаников и кремнистыми конкрециями	50
6. Песчаники массивные кремнистые .....	50
7. Грубое переслаивание песчаников (0,5-2 м) слоистых с кремнистым цементом и алевролитами (0,1-0,3 м), кремнистыми темными, зелено-вато-серыми .....	60
8. Песчаники кремнистые зеленовато-серые массивные с прослоями (0,1-0,6 м) алевролитов и мелкозернистых песчаников .....	30
9. Переслаивание (0,3-0,5 и до 5 м) песчаников с гравийными обломками черных и темно-серых алевролитов. В породах этой пачки содержатся, по определениям О.П.Дундо, отпечатки раковин <i>Inoceramus kusiroensis</i> Nagao et Mat., I. sp. B. (I. ex gr. <i>balticus</i> Boehm) .....	70
10. Песчаники кремнистые с прослоями (0,05-0,3 м) темно-серых алевролитов .....	50
II. Чередование кремнистых песчаников (1-5 м) с кремнистыми алевролитами (0,1-0,3 м) .	70
Верхняя часть отложений свиты наращивается в долине Энчайвайма, где развиты (снизу вверх) в м:	
12. Пачка грубого чередования (3-5 м) кремнистых песчаников и алевролитов .....	60
13. Песчаники мелкозернистые массивные темно-серые с линзами черных кремнистых алевролитов .....	15
14. Песчаники массивные с прослойками (до 0,1 м) гравелитов .....	20

15. Песчаники кремнистые массивные с прослойками (0,05 м) алевролитов	15
16. Алевролиты неслоистые кремнистые, чередующиеся с песчаниками (до 3 м) мелкозернистыми кремнистыми	20
17. Песчаники массивные кремнистые зеленовато-серые с линзами (0,1-2 м) гравелитов и пластами (0,3-5 м) черных кремнистых алевролитов. В песчаниках содержатся мелкая галька черных алевролитов, аргиллитов и кремнистых пород	80

Видимая мощность отложений II00 м.

В направлении с северо-востока на юго-запад отложения импенвеемской свиты испытывают фациальные изменения, заключающиеся в уменьшении кремнистости и увеличении нормально осадочных терригенных пород. Так, например, в бассейне Якяквайма кремнистые и окремнистые песчаники и пелитолиты уступают роль нормально осадочным песчаникам, гравелитам, алевролитам, пелитолитам и пелитоморфным известнякам, чередующимся по 0,2-0,4 м. На основании остатков *Inoceramus cf. kusiroensis* Nagao et Mat., *I. aff. regulatus* Hagen, *I. ex gr. balticus* Boehm., *Pachydiscus* (*Neodesmoceras*) *japonicus* Mat., *Gaudryceras* *cf. demanensis* Whiet., *Semifusus* (*Trochofusus*) *cf. sachalinensis* Nagao, *Solemya* sp. *indet.*, *Variamussium* sp. *indet.* (определения О.П.Лундо и Г.П.Тереховой) отложения свиты относятся к маастрихтскому ярусу. В отложениях свиты содержатся также остатки фораминифер: *Dendrophryxa* *cf. maxima* Friedberg, *Hyperegammina* *cf. cylindrica* (Glaessner), *Bathysiphon vitta* Nauss., *Tlagrina* ? *sp.*, *cylindrica* (Glaessner), которые, по заключениям М.Я.Серовой, Л.В.Василенко и Г.П.Тереховой, не противоречат меловому возрасту вмещающих пород.

Учитывая эти данные, возраст импенвеемской свиты определяется маастрихтом. Видимая мощность свиты II00 м.

#### Маастрихтский и датский (?) ярусы

#### Мильгернайская свита ( $K_2^{mg}$ )

Свита представлена монотонными алевролито-песчаниковыми отложениями флишевого строения. Ритмичность двух- и трехкомпонентного флиша иногда нарушается появлением пачек массивных песчаников, алевролитов и глинистых сланцев, последние нередко приближаются к типу кровельных и асpidных. Повсеместно распространены пелитоморфные и алевритовые известковистые конкреции разнообразной формы и величины. В строении верхней части свиты участвуют также линзы

кремнистых пород. Отложения свиты находятся в очень сложных тектонических взаимоотношениях с подстилающими и перекрывающими образованиями. Нижняя граница на севере описываемой площади проводится по появлению в глинистых сланцах свободно плавающей гальки и линз гравелитов и конгломератов, содержащих обломки пород подстилающей импенвеемской свиты. При этом в большинстве случаев на границе наблюдаются тектонические нарушения, сопровождающиеся надвиганиями пород импенвеемской свиты на отложениях мильгернайской. В таких же тектонических соотношениях мильгернайская свита находится с породами ватинской серии.

Отложения свиты в основном приурочены к центральной части северной половины района к Гельмвееемской антиклинальной структуре, протягивающейся в субширотном направлении из бассейна Энчайвайма в бассейны Пахачи и Апуквайма.

Наиболее полно отложения мильгернайской свиты обнаружены в береговых обрывах Пахачи и ее боковых притоков. Здесь вскрывается (снизу вверх) в м:

1. Пачка пакетов грубого (0,3-0,5 м) и более тонкого (0,1 м) ритмичного переслаивания песчаников и аргиллитов	150
2. Песчаники и аргиллиты с конкрециями пелитоморфных известняков, ритмично чередующиеся по 0,1-0,2 м	250
3. Пакет массивных среднезернистых песчаников (до 3 м) и прослоев (0,1-0,2 м) слоистых темно-серых алевролитов	30
4. Ритмичное чередование (0,05-0,2 м) песчаников и алевролитов	130
5. Пачка чередования песчаников (до 6 м) и пакетов тонкого ритмичного чередования (0,1-0,2 м) песчаников и алевролитов	140
6. Алевролитовые и аргиллитовые сланцы слоистые темно-серые с конкрециями и редкими прослоями мелкозернистых песчаников	162

Мощность отложений по разрезу 862 м.

Верх этого горизонта на правобережье Энчайвайма, левобережье Кынгисимавайма по р.Пипикельному и на левобережье Пахачи в сложных тектонических взаимоотношениях залегает не выдержаный по мощности линзовидный горизонт кремнистых пород, имеющий следующее строение (снизу вверх) в м:

1. Алевролиты зеленовато-серые весьма плотные однородные с характерной грифельной отдельностью	35
--	----

2. Песчаники кремнистые сливные мелкозернистые зеленовато-серые .....	25
3. Песчаники кремнистые с малой галечкой осадочных и кремнистых пород, местами переходят в кремнистые гравелиты .....	18
4. Кремнистые алевролиты темно-серые, выбивающиеся на дневной поверхности, сменяются зеленовато-серыми мелкозернистыми сливными песчаниками .....	60
Мощность отложений по разрезу I38 м.	

Непосредственно к востоку от рассматриваемой территории [8] эти образования выделены под названием яквяйского горизонта мощностью около 300 м.

По простиранию породы мильгернайской свиты подвержены фациальным изменениям. По боковым притокам Пишильинна и Кылкымаавалма пачки тонкого флишевого чередования нередко выклиниваются и замещаются песчаниковыми пачками, которые в низах нередко переполнены растительным детритом. Однако некоторые тонко чередующиеся флишевые и, песчаниковые пачки хорошо прослеживаются на запад к низовым Яквяйям.

В пределах правобережья Гельминвеема и левобережья руч. Озерного отложения свиты имеют большое сходство с вышеописанными ритмично переслаивающимися отложениями. В приконтактовой зоне с породами ватинской серии широко проявлены будинах, опрокидывание толщ с надвиганием пород ватинской серии на осадочные отложения. Отмечается линзы кремнистых пород, находящиеся в сложных тектонических взаимоотношениях с имеющими терригенные отложениями. Породы, слагающие линзы, по своему характеру строения и наличию в них призматических слоев инокерамов близки к образованиям ватинской серии.

На левобережье Пахачи, ниже устья Мал. Тыкельнина и в междуручье Пахачи - Хайнконколава в тектоническом контакте с породами ватинской серии вскрываются (в м):

1. Пачка сильно нарушенных рассланцованных, графитизированных алевролитов и песчаников мелкозернистых темно-серых с частыми конкреционными стяжениями пелитоморфных известняков в глинистой рубашке .....	120
2. Туфи зеленые тонкозернистые мятые .....	15
3. Спилиты и близкие к ним туфи с шаровой отдельностью зелено-бурые, коричневые .....	50
4. Глинистые сланцы кремнистые слабослоистые серые .....	20

5. Алевролиты черные с прослойками мелкозернистых песчаников .....	200
6. Сложное переслаивание зеленых аргиллитовых туфов с прослойками черных окремнистых и нормальных алевролитов .....	60
7. Кремнистые сланцы, туфоалевролиты, туфи, яйцевидные породы. Окраска пород серая, буро-серая, зеленоватая, в пачке встречаются обломки призматического слоя инокерамов ...	100

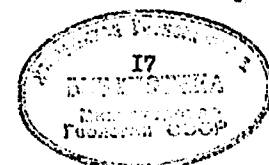
Мощность по разрезу 565 м.

Состав и строение свиты вдоль фронта ватинской серии резко изменяются на близких расстояниях с выпадением и появлением новых пачек осадочных и вулканогенно-кремнистых пород.

На правобережье Мал. Тыкельнина, к западу от г. Скальной, в конкремциях, залегающих в алевролитовых сланцах, вблизи контакта с породами ватинской серии были обнаружены остатки *Inoceramus* sp. (шина *I. anglicus* Woods) (определение А.А. Соловьева) и *Pleurocytus* sp., имеющая верхнемеловой облик по данным Л.В. Кристифорович.

Наличие в мильгернайской свите нижнемелового инокерама вызвало сомнение. Переопределение данной формы не было сделано из-за утраты образца. Повторные поиски фауны в 1966 г. на правобережье Мал. Тыкельнина не привели к положительным результатам.

В отложениях свиты, кроме этих двух форм, обнаружен комплекс фораминифер, представленный *Ammodiscus naibicus* Tureno, A. cf. *cretaceus* (Rense), A. *rennui* Cushman and Jarvis, *Asanospira exavata* (Cushman and Waters), *Bathysiphon* cf. *alexanderi* Cushman., B. cf. *akanosawensis* Takayanagi, B. *brosgei* Tappan, *Bogdanovicziella complanata* (Franke), *Bolinopsis rosula* (Ehrenberg), *Carpathiella ovulum gigantea* (Geroch.), *Dendrophrya maxima* Friedberg, *Gaudryinopsis* cf. *vulgaris* (Kyprianova), *Haplophragmoides* cf. *kirki* Wickenden, H. cf. *rugosus* Cushman and Waters, *Hyperammina elongata* Brady, H. cf. *errugata* Martin, *Psammosphaera laevigata* White, *Reophax prolatus* Sliter, R. *dentalinoides* (Rense), *Rhizammina indivisa* Brady, *Rhabdammina discreta* Brady, *Rzezhakina* ex gr. *epigona* (Rzezhak.), *Siliceobathysiphon dubia dubia* (White), *Saccammina* cf. *lathrami* Tappan, S. cf. *achroa* Mjatliuk (определения Н.М. Петриной) *Dendrophrya* cf. *maxima* Friedberg, *Glomospira* cf. *corona* Cushman and Jarvis, *Siliceobathysiphon* cf. *dubia* (White), *Silicoseigma* cf. *elegantissima* Serova, *Sallammina scabressa* Mjatliuk, *Spirosigma* *linella maxima* (определения Л.В. Васильченко), *Bathysiphon* cf. *kushiroensis* Gosh. *Silicoseigma* cf. *exoensis* (Takayanagi), S. *futabaensis* Asano, *Spiraloplectammina* cf. *Grzybowski* Prizzell (определения М.Я. Серовой).



13394

Приведенный комплекс фораминифер, по данным М.Я.Серовой, Л.В.Василенко и Н.М.Петриной, характеризует позднемеловой возраст имеющих отложений. Кроме того, по р.Тынельнику в спорово-пыльцевом комплексе из отложений мильгернайской свиты установлены *Aguilarolensis* sp., *Betula* sp., *Alnus* sp., *Pterocarya* sp., *Nemus* sp., *Carpinus* sp., *Fagus* sp., *Vaccinopaleis* sp., *Ginkgo* sp., *Cupressaceas*, *Osmunda* sp., *Polypodiaceas*, *Sphagnum* sp., *Gleichenia* sp., *Leiotryletes* sp., характеризующие, по данным З.Н.Лукьяновой, позднемеловой возраст имеющих отложений.

Маастрихт-датский (?) возраст мильгернайской свиты определяется данными фаунистических, микрофаунистических остатков и спорово-пыльцевого комплекса, а также положением ее выше импенвеемской свиты маастрихтского возраста. Общая мощность свиты 1000 м:

#### МЕЛОВАЯ И ПАЛЕОГЕНОВАЯ СИСТЕМЫ

##### Датский (?) ярус - палеоцен

Вальянская толща ( $K_2-P_1$ vi) на севере рассматриваемой площади с размывом без видимого несогласия залегает на мильгернайской свите. В центральной части площади она граничит по текtonическому контакту с ватинской серией или перекрывает согласно мильгернайскую свиту.

В составе толщи присутствуют полимиктовые песчаники, конгломераты, алевролиты, аргиллиты, часто с известковистыми пелитоморфными конкрециями. Нижние слои характеризуются повышенной туфогенностью песчаников, стяжениями известковистых песчаников, седиментационных туфогенных брекчий с обломками кремнистых пород с призматическими слоями сантон-кампанских иноцерамов. Размеры обломков - от мелких до крупных глыб.

На большей части площади отложения вальянской толщи характеризуются однородностью состава пород при сильной фациальной невыдержанности.

Наиболее полный разрез толщи наблюдается в истоках левого притока Мал.Аянки. На северных склонах водораздела между указанными притоками и р.Мал.Бальзном выше аргиллитов, глинистых сланцев мильгернайской свиты согласно залегают (снизу вверх) в м:

I. Конгломераты мелко- и крупногалечные с песчанистым или алевролитовым цементом, значительным количеством обломков известковистых пород с остатками сенонских иноцерамов, аммонитов, пелеципод, гастропод и др. .... 40

2. Песчаники (1-5 м) с прослойями и линзами гравелитов и конгломератов (0,3-15 м) с плохо окатанной галькой песчаников, алевролитов, кремнистых пород, туфов, конкреций .....	80
3. Песчаники массивные крупнозернистые с линзами конгломератов (3-5 м), цемент базальный, алевритовый черного цвета, в конкрециях содержатся раковины мелких <i>Thyasira</i> sp., <i>Gastropoda</i> sp. ....	60
4. Аргиллиты черные с конкрециями пелитоморфных известняков с фауной <i>Varlamovium</i> sp. imdet. ....	60
5. Конгломераты среднегалечные с отдельными хорошо окатанными валунами, цемент базальный, аргиллитовый .....	20
6. Песчаники крупнозернистые массивные и слоистые с линзами гравелитов и мелкогалечных конгломератов и отдельными пластами (1-2 м) черных аргиллитов .....	50
7. Конгломераты разногалечные с базальным аргиллитовым цементом с обломками пелитоморфных известняков .....	90
8. Аргиллиты черные блестящие углистые ...	25
9. Песчаники массивные и грубослоистые с прослойями гравелитов и мелкогалечных конгломератов (1-5 м) с тонкими прослойками черных аргиллитов (до 0,1 м) и остатками обугленной древесины	210
10. Аргиллиты черные с тонкими прослойками мелкозернистых песчаников .....	40
II. Песчаники массивные грубослоистые с пластами гравелитов, мелкогалечных конгломератов (1-4 м) и черных аргиллитов (0,1-0,2 м), с остатками обугленной древесины .....	180
12. Конгломераты мелко- и среднегалечные с базальным аргиллитовым цементом, среди обломочного материала содержатся окатанные конкреции пелитоморфных известняков. Имеются прослои (до 1 м) крупнозернистых песчаников и черных аргиллитов .....	60
13. Конгломераты с аргиллитовым базальным цементом, в конгломератах присутствуют окатанные конкреции пелитоморфных известняков с остатками кампан-маастрихтских иноцерамов и аммонитов .....	50

I4. Аргиллиты черные с редкой плавающей галькой .....	35
Мощность отложений по разрезу 1000 м.	

В западном направлении к истокам Чипикельнина, Кылхымаваяма и Мал. Якквайма в отложениях вальянской толщи уменьшается количество конгломератов, сокращаются мощности пластов песчаников, увеличивается количество алевролитов и флишевых пачек.

На левобережье Хайнконколава вальянская толща тектонически контактирует с ватинской серией. По левым боковым притокам Хайнконколава в строении рассматриваемой толщи принимают участие главным образом тонкообломочные серые и темно-серые песчаники, алевролиты и аргиллиты. В глинистых разностях пород обычны алевритовые и пелитоморфные известковистые и кремнистые конкреционные стяжения размером от 3-5 до 30-50 см, нередко с пиритом и марказитом. При движении к востоку по мере увеличения тубогенности песчаников известковистые стяжения в них встречаются довольно часто. В этом же направлении увеличивается величина зерен песчаников вплоть до появления в них линз и прослоев гравелитов и конгломератов с галькой кремнистых и осадочных пород. В междуречье Хайнконколава и Бол. Хайнконколава к основанию толщи приурочены включения глыб кремнистых пород, сходных с образованиями ватинской серии.

В отложениях вальянской толщи обнаружены остатки фораминифер: *Bathyaphon cf. kushiroensis* Gosh., *B. vitta* Nauss., *Cyclammina kushtofontehse* Voloshinova, *Dendrophrya* sp. indet., *Lagena hispida* Renss. (определения М.Я. Серовой и Л.В. Василенко).

В различных частях вальянской толщи на рассматриваемой площади найдены остатки фораминифер: *Bathyaphon vitta* Nauss., *B. kushiroensis* Gosh., *B. cf. kushiroensis* Gosh., *B. varans* Sliter., *Siliacosigmoilina futabaensis* Asano, *S. perplexa* Ish., *Saccammina cf. complanata* (Franke), *Rzehakina epigona* (Rzehak.) (определения М.Я. Серовой), *Cyclammina kushiofontehse* Voloshinova, *Dendrophrya maxima* Friedberg, *D. aff. robusta* Grzubowski, *Lagena hispiga* Renss., *Sallammina scabrosa* Mjatliuk, *Haplophragmocides cf. rugosus* Cushman and Waters, *Spirosigmoilinella holmensis* Tureno (определения Л.В. Василенко), *Bogdanovicziella complanata* (Franke), *Bathyaphon cf. brosgei* Tappan, *B. cf. akanosawensis* Takayanagi, *B. cf. alexanderi* Cushman, *Carpathiella ovulum gigantea* (Geroch.), *Pseudosphaerula laevigata* White, *Saccammina scabrosa* Mjatliuk, *Rhandommina discreta* Brady, *Silicosigmoilina* (Bramlettia) cf. *ezoensis* Takayanagi, *Rhizammina indivisa* Brady (определения Н.М. Петриной).

Согласно этим определениям фораминиферы характеризуют широкий возрастной предел вмещающих отложений от кампана до маастрикта и,

возможно, до дания и палеоценена. Комплекс фораминифер Rzehakina epigona (Rzehak.) не противоречит отнесению вальянской толщи к дат (?) – палеоценовому возрасту. Общая ее мощность 1000 м.

#### ПАЛЕОГЕНОВАЯ СИСТЕМА

Отложения, отнесенные к палеогеновой системе и развитые в бассейне Хайнконколава, на левобережье Гельмывеема и по рекам Тыкельнику, Бол. и Мал. Тыкельнику, отнесены к ляшганайской толще эоценового возраста. К ильинской серии отнесены олигоценовые отложения, распространенные на правобережье Пахачи.

#### Эоцен

Эоценовые отложения на рассматриваемой площади выделяются впервые под названием ляшганайской толщи. Они пользуются распространением в северной части рассматриваемой территории в виде полосы, сужающейся к востоку от 15 до 7 км. Наряду с тонкообломочными и глинистыми породами в составе их присутствуют грубообломочные породы (конгломераты, гравелиты, песчаники). Первые объединены в нижнюю, вторые – в верхнюю части.

Нижняя часть ляшганайской толщи ( $F_2 p_1$ ) наиболее широко распространена в западной части района. Она залегает согласно на отложениях вальянской толщи и перекрывается породами верхней части ганайской толщи. Нижняя граница проводится по кровле песчаников вальянской толщи и подошве тонкого флиша с пакетами аргиллитов, с конкрециями и маломощными линзами конгломератов. Верхняя граница маркируется конгломератами и грубозернистыми песчаниками верхней части ляшганайской толщи. По простиранию и восстанию в целом породы ляшганайской толщи фациально резко меняются, что наряду со сложной пликативной и разрывной тектоникой затрудняет или даже делает невозможным прослеживание по простиранию отдельных горизонтов. Однако микрофлишевые толщи хорошо прослеживаются по площади. Состав и строение нижней части толщи вдоль западной границы имеют много общего со смежной территорией [9].

У восточной границы, в бассейне Бол. Тыкельнина и примыкающих к нему с севера р. Тыкельнина и юга р. Мал. Тыкельнина, в антиклинальных структурах нижнюю часть толщи слагают (снизу вверх) в м:

I. Пачка тонкого флиша чередующегося с песчаниками и аргиллитами по 3-5 см .....	80
2. Алевролиты черные, переходящие вверх в аргиллиты с известковистыми конкрециями ...	100

3. Равномерно чередующиеся (по 10-15 см)	
серые песчаники и темно-серые аргиллиты .....	40
4. Алевролиты черные (по 3-5-8 см), чередующиеся с темно-серыми песчаниками (по 8-12 см) .....	100
5. Песчаники и алевролиты, чередующиеся по 5-6, 10 см, дроблены, прожилкованы кварцем и карбонатом .....	30
6. Алевролиты сланцеватые и песчаники мелко-зернистые равномерно чередующиеся .....	230
7. Алевролиты черные с нитевидными прослоями песчаника .....	140
8. Аргиллиты с редкими обломками алевролитов, песчаников и мелкой кремнистой галечкой, небольшими линзами гравелитов и конгломератов с небольшим количеством пелитоморфных известковистых конкреций, различных форм и величин .....	180
9. Аргиллиты и алевролиты, чередующиеся с массивными крупнозернистыми серыми песчаниками мощностью от 6 до 12 м, хорошо выдерживаемые по простиранию .....	до 100
Общая мощность 1000 м.	

В аргиллитах, содержащих конкреции и известковистые линзы на левобережье Тыкельнина, в истоках Мал.Тыкельнина и по правобережью Пахачи, содержатся очень малкие отпечатки и ядра *Solenites cf. dalli Clark.*, *Thyasira aff. peruviana L.Krisht.*, *Malletia sp.*, *Lucina sp.*, *Yoldia?*, *Pitar (?) sp. indet.*

Л.В.Криштофович, изучавшая указанние формы, считала возможным отнести эти отложения к среднему эоцену - олигоцену. Такого же мнения придерживался В.Н.Верещагин. Аналогичный, но более богатый комплекс остатков фауны был отобран из отложений ляшганайской толщи на правобережье Энчайвайма в пределах листа Р-59-XIX [ 9 ].

В отложениях нижней части толщи установлены остатки фораминифер: *Bathysiphon kushiroensis* Gosh., *B. cf. vitta* Nauss, *Bogdanoviella complanata* (Franke), *Cyclammina akkesiensis* (Gosh.), *C. cf. asanai* Takayanagi, *Dendrophryna cf. maxima* Friedberg, *Haplophragmides obesus* Takayanagi, *H. cf. ragosus* Cushman and Warers, *Hypogramma cf. cylindrica* (Glaessner), *H. aff. primitiva* Mjatliuk, *Pelosina longula* Bulatova, *Reticulophragmium? sinedoricum* Tureno, *Silicosigmoilina (?) sp. indet.*, *Silicobathysiphon cf. dubia* (White) - определения М.Я.Серовой и Л.В.Василенко.

Остатки фауны указывают на палеогеновый возраст вмещающих отложений и соответственно нижняя часть ляшганайской толщи отнесена к эоцену.

Верхняя часть ляшганайской толщи ( $P_2lp_2$ ) распространена там же, где и нижняя часть ляшганайской толщи и имеет с ней постепенный переход. Граница между этими частями проводится по появлению массового скопления конгломератов выше аргиллитов с многочисленными скоплениями конкреций или же массивных серых песчаников. Выходам верхней части обычно соответствуют положительные формы рельефа (водоразделы, массивные вершины). Иногда верхняя часть вскрывается в долинах в опущенных тектонических блоках. Породы ее слагают узкие синклинальные складки, имеющие субширотное простирание и осложненные мелкой складчатостью и многочисленными разрывными нарушениями.

Верхняя часть толщи сложена фациально не выдержаными отложениями, представленными песчаниками, алевролитами, аргиллитами, конгломератами и гравелитами. Наиболее полно она вскрыта на водоразделе в районе высоты 1430 м. Здесь в крутом северном склоне обнажаются (в м):

1. Конгломераты крупно-среднегалечные, чередующиеся с гравелитами и грубозернистыми песчаниками (по 1-2-5 м) и черными аргиллитами и алевролитами до 2-3 м. В обломках представлены яшмы с призматическими слоями иноцирамов, кварциты, порфириты, диабазы, туфы, песчаники, глинистые сланцы; цемент песчаний и глинистый .....	300
2. Алевролиты черные сланцеватые или массивные .....	60
3. Конгломераты, гравелиты и песчаники, чередующиеся через 1-2-3 м .....	260
4. Конгломераты крупно-среднегалечные с прослоями песчаников, линзами и слойками смычущих алевролитов, вверху - гравелиты, крупнозернистые песчаники, алевролиты, чередующиеся по 0,5-1-1,5 м .....	280
Мощность отложений 900 м.	

К западу мощность конгломератово-песчаниковых отложений убывает и они замещаются алевролитами и глинистыми сланцами. Конгломераты и песчаники в них образуют линзы, пласти и прослои мощностью по 3-5, иногда до 10 м. В междуречье Ханиконколава - Озёрного эти отложения слагают главным образом водораздельные пространства, залегая в узких синклинальных складках. К востоку в составе верхней части мощности конгломератов также резко падают, переходят в линзы и мало мощные пласти, замещаясь пачками аргиллитов и песчаников ритмично чередующихся.

В пачках аргиллитов, залегающих среди песчаников и конгломератов, в известковистых битуминозных конкрециях содержатся редкие остатки малых раковин палеципид и гастропод, аналогичных таковым из нижней части ляпганийской толщи.

В отложениях верхней части установлен немногочисленный комплекс фораминифер, представленный *Bathysiphon cf. vitta* Nauss., *Cucullina cf. samanica* Berry (м.б. *Haplophragmoides*), *C. sp. indet.* (типа *C. radiata* Serova), *Dendrophrya sp. indet.*, *Cyrtogramma cf. cylindrica* (Glaessner), *Haplophragmoides cf. rugosus* Cushman and Waters, *Pelosina longula* Bulatova (определения М.Я.Серовой и Л.В.Василенко). Этот комплекс фораминифер имеет широкий возрастной диапазон, распространяющийся на верхах верхнего мела и палеогена.

В конгломератах из гальки кремнистых пород Р.Х.Липман были определены радиолярии позднемелового ватынского и палеогенового вочвинского комплексов.

Возраст верхней части ляпганийской толщи, как и для всей толщи, на основании фаунистических остатков определяется эоценом. Общая мощность ляпганийской толщи 1900 м.

#### Эоцен-олигоцен

Ильинская серия ( $P_{2-3}^{11}$ ) вскрывается на правобережье Пахачи. Ограниченностю распространения и плохая обнаженность не позволили составить сколько-нибудь удовлетворительное представление о ее разрезе. Контакты с подстилающими и перекрывающими породами не наблюдаются. На сменной к западу территории [9] отложения ильинской серии согласно перекрываются породами пахачинской свиты. В пределах рассматриваемого района, судя по отдельным обнажениям и высоткам, серия сложена зеленовато-серыми песчанистыми алевролитами, зеленоватыми аргиллитами, песчаниками и многочисленными известковистыми конкрециями шарообразной и чечевицеобразной формы.

На правобережье Пахачи, северо-восточнее и западнее г. Этгельгики, вскрывается пачка зеленоватых аргиллитов и скорлуповатых алевролитов с прослоями известковистых конкреций. Выше залегают размокавшие зеленоватые аргиллиты и зеленовато-серые алевролиты с мелкой рассеянной галькой и дегритом, серые песчаники мелкозернистые в чередовании с аргиллитами и алевролитами. На сменной к западу территории возраст ильинской серии, имеющей такой же литологический состав, что и на рассматриваемой, определяется как эоцен-олигоценовый. Мощность серии около 1000 м.

#### НЕОГЕНОВАЯ СИСТЕМА

##### Миоцен

Неогеновые отложения распространены главным образом на юге района. Они представлены осадочными, вулканогенно-осадочными, угленосными и эфузивными породами. Преимущественно осадочные образования отнесены к пахачинской, а угленосные и эфузивные образования — к кордовской свитам.

##### Пахачинская свита ( $N_1 ph$ )

Свита распространена в Омуторской складчатой зоне, где она была впервые установлена [35] в бассейне Пахачи.

Нижняя граница свиты в рассматриваемом районе не наблюдается, верхняя определяется несогласным налеганием на нее отложений кордовской свиты.

Свита представлена нормально-осадочными и вулканогенными образованиями.

Наиболее полно разрез свиты вскрыт в бассейне Апавылгина (снизу вверх) в м:

I. Конгломераты средне-крупногалечные с прослоями ракушняков и темно-серых песчаников, переполненных растительным дегритом, присутствуют слабо углефицированные обломки древесины и ее стволы до 2-3 м в длину. В пластах (2-3 м) ракушняков и пластах песчаников установлены <i>Acile aff. gottscheni</i> (Boehm.), <i>Liocyma ariken-sis</i> L. Kribs., <i>Polinices cf. galianoi</i> Dall., <i>Spisula aff. vojii</i> (Gabb.) — определения А.Д.Девятовой .....	80
2. Пачка песчаников и гравийных конгломератов с многочисленными остатками древесной растительности. В гравийных конгломератах остатки <i>Cardita</i> sp., (aff. <i>C. castelloi</i> Evseev), <i>Liocyma ex gr. furtiva</i> (Yok.), <i>Mactra</i> cf. <i>albaria</i> Clark (определения В.И.Богдановой) .....	20
3. Песчаники среднезернистые синевато-серые с прослоями алевролитов (0,6-1,2 м) черных с остатками растительного дегрита и охристого бурого угля (3-5 см) .....	145

4. Конгломераты среднегалечные, песчаники зеленовато-серые с прослойками буроватых скролуповатых алевролитов и сажистого бурого угля ....	25
5. Пачка песчаников дымчато-серых мелко-среднезернистых (2-8-10 м), содержащих прослойки алевролитов (1-2 м), аргиллитов (1-1,5 м), конгломератов (0,4-0,8 м) и бурого угля (0,4-1 м) с <i>Liocyma fluctuosa</i> (Gould.), <i>Mascoma aff. astori</i> Dall., <i>Mactra cf. polypora</i> Stimpf .....	130
Мощность по разрезу 400 м.	

Выше в разрезе вскрыта толща преобладающих песчаников и конгломератов; алевролиты и аргиллиты им резко подчинены. Мощность толщи 760 м. Мощность пахачинской свиты по разрезам Апавылгина 1160 м.

Прослеживая характер фациальной изменчивости, можно отметить, что на южных склонах г.Апавылгина в разрезе пахачинской свиты выше конгломератов и песчаников появляются вулканогенные породы, занимающие более высокое стратиграфическое положение. Они представлены туфо- и лавобрекчиями, туфогравелитами и туфопесчаниками, конгломератами, андезитами, их туфами и лавами. Обломочный материал в целом плохо окатан, несортирован, хотя порой наблюдается неясно выраженная слоистость, обусловленная чередованием грубо- и тонкообломочного материала, туфогравелитов, туфопесчаников и покровов андезитов. Вулканогенные образования по простирации замещаются нормально-осадочными отложениями и распространены локально. На юго-западном склоне г.Апавылгина на конгломераты согласно ложится толща вулканогенно-туфовых образований, представленных грубообломочными до глиновыми туфами и вулканическими конгломерато-брекчиями (3-8-10 м), чередующимися с более тонкообломочными брекчиями и туфовыми горизонтами (от 3-4 до 12-15 м) и покровами зеленовато-серых андезитов (от 1-1,5 до 3-4 м). Мощность толщи до 300 м.

На юго-восточном крыле синклинальной складки ниже вулканогенных пород вскрываются осадочные отложения (около 200 м). Они представлены песчаниками среднезернистыми тонкоплитчатыми с конкрционными стяжениями известковистых гравелитов, а также конгломератами и гравелитами в грубом переслаивании с песчаниками, содержащими остатки *Yoldia aff. nabiana* Sim., *Liocyma ex gr. furtiva* (Yok.), *L. fluctuosa* (Gould.), *Mascoma cf. arctata* (Conrad), *Mactra cf. sachalinensis* Schrenk, *M. polypora* Stims., *Polinices galianoi* Dall. Далее вулканогенные образования прослеживаются вдоль северо-восточных подножий г.Апавылгина и в истоках Апавылгина перекрываются породами корфовской свиты.

На левобережье Этеткина в подстилающих песчаниках содержится фауна: *Cardita korfensis* L. Krish., *Liocyma ex gr. furtiva* (Yok.).

*L. cf. fluctuosa* (Gould.), *Mactra aff. arthromorpha* Grant et Gall, *Clinocardium aff. makarovii* Evseev, *Polinices galianoi* Dall. (определения В.И.Богдановой). По этому же ручью на вулканогенных образованиях залегает верхняя часть пахачинской свиты, представленная пачкой песчаников и алевролитов с *Tellina aff. djakovi* Słod., *Spisula aff. sachalinensis* (Schrenk) - определения В.И.Богдановой. Мощность пачки 140 м.

На правобережье Пахачи, в 4-5 км ниже устья Хайнконколава, разрез пахачинской свиты представлен полимиктовыми конгломератами, гравелитами, песчаниками, углисто-глинистыми алевролитами и аргиллитами с конкрециями и остатками фауны. Видимая мощность по береговым обрывам не менее 1000 м.

Пахачинская свита вдоль восточной границы описываемой площади вскрывается в разобщенных выходах. Она представлена песчаниками серыми, зеленовато-серыми и алевролитами зеленовато-серыми скролуповатыми и реже гравелитами. Породы содержат растительные остатки и ископаемую фауну, которая присутствует в песчанистых конкрециях и переполняет песчаники, образуя ракушняк с *Yoldia cf. chojensis* Sim., *Liocyma ex gr. furtiva* (Yok.), *Mytilus aff. trampasensis* Dall., *M. cf. fucus* Dall., *Liocyma aff. aragonia* Dall., *Spisula aff. gracilis* Schrenk, *Panope cf. pleschacovi* (Sim.) - определения В.И.Богдановой.

Возраст свиты по остаткам фауны нижнемиоценовый. Мощность ее 1600 м.

#### Корфовская свита (Н, кг)

Свита распространена в южной и юго-восточной частях описываемой площади. Слагают ее туфы, туфогравелиты, туфобрекчии, туффиты, вулканомиктовые песчаники, гравелиты, конгломераты, базальты, андезито-базальты, андезиты, дациты, пески, бурый уголь несогласно залегают на пахачинской свите и несогласно перекрываются лавовыми покровами апукской свиты.

В нижнем течении Этеткина отложения свиты представлены (снизу вверх) в м:

1. Конгломераты (0,2-1,5 м) среднегалечные, чередующиеся с пластами глинистых песчаников (0,2 м) и палевых песчанистых глин (0,3 м), с пластами (0,2-0,3 м) бурого угля .....	100
2. Уголь бурый с семью прослойями (5-10 см) песчаных глин, содержащих растительный детритус	16

3. Песчаники серые, чередующиеся (0,1-0,5 м) с аргиллитами и четырьмя пластами (1-1,5 м) бурого угля .....	70
4. Конгломерат гравийный и среднегалечинный, слабо сцепленный песчанистыми глинями ..	10
5. Туфогравелит желтовато-бурый с пористыми лапиллиями, гравийными обломками эфузивных, кремнистых и осадочных пород .....	80
6. Туфогравелит желтовато-бурый с двумя пластами (0,3-0,4 м) песчаников с прослоями (3-5 см) бурого угля .....	50
7. Туфопесчаники грубозернистые с прослоями и линзами лапиллиевых, опоковидных пород и пепловых туфов белого цвета (0,2-6 м) .....	25
8. Начка чередующихся песчаников (0,2-0,4 м) и гравелитов (0,5-1,2 м) с линзами (до 2 м) туфобрекчий и пластами трепелозидных пелитолитов и алевролитов. В пелитолитах содержатся отпечатки листьев <i>Alnus cordata</i> Desf., <i>Viburnum</i> sp., <i>Sapindus</i> sp., <i>Pinus</i> sp., <i>Salix</i> sp. ....	58
9. Пески граувакковые черные грубозернистые до гравийных .....	100
10. Туфи лапиллиевые массивные, белые пористые лапилли андезитового состава, вулканические бомбы, линзы и скопления туфовых брекчий .....	120
Мощность отложений по разрезу 629 м.	

В нижнем течении Вьетконга и на правобережье Пахачи осадочная фация свиты представлена полого дислоцированными конгломератами, гравелитами, песчаниками, песками, содержит прослои (0,2-0,3 м) бурого угля. Отпечатки листьев: *Juglans nigella* Heer?, *Salix tenuira* A. Braun., *S. cf. alaskana* Holl., *S. sp.*, *S. cf. babylonica* L. I., *S. cf. australior* Ander., *Celtis occidentalis* L. ?, *Populus* sp., *Phyllites* sp. (определения А.Ф.Бримовой) и спорово-пыльцевой комплекс, представленный *Lichenes*, *Lycopodiaceae*, *Osmundaceae*, *Abies*, *Picea* sect. *Omorica*, *Haploixylon*, *Pinaceae*, *Salix*, *Juglandaceae*, *Alnus*, *Rosaceae*.

В междууречье Некокула и Эгеймавайма средние горизонты свиты представлены (снизу вверх) в м:

I. Гравелиты и конгломераты, чередующиеся с грубообломочными туффитами (10-15 см), трепелоидными породами (2-6 см), пепловыми туфами (1-3 см) .....	50
---	----

2. Туффиты, диатомиты, трепелы сложно переслаивающиеся .....	30
3. Туфи андезитов и дацитов литокристаллоластические алевроцамитовые (2-5 м), чередующиеся с диатомитами (1,5 м), трепели (6 м), туффиты (2,2 м), шлаки и шлаковые пески (0,3-5 м) .....	80
Мощность отложений по разрезу 160 м.	

В бассейне Этеткина в верхней части свиты залегают (снизу вверх) в м:

I. Андезиты черные с мелкими вкрашениниками плагиоклаза и пироксена .....	10
2. Базальты черные магнокордированные .....	20
3. Туфи лапиллиевые, литокристаллоластические .....	6
4. Андезито-базальты порфировые .....	20
5. Туфи андезито-базальтов лапиллиевые, чередующиеся с туффитами .....	II
6. Гравелиты вулканомиктовые .....	2
7. Туффиты серые, желто-серые мелкообломочные .....	2
8. Туфовые брекчики черные с обломками шлаков базальтов и андезито-базальтов .....	22
9. Андезиты красно-бурные пористые с вкрашениниками плагиоклаза .....	18

Мощность отложений по разрезу III м.

В восточной части района в составе вулканогенных образований, выше туфогенных пород, преобладают дациты и их пирокластолиты.

На основании находок остатков листьев растений и спорово-пыльцевых комплексов возраст отложений кордовской свиты определяется как позднемиоценовый. Общая ее мощность 900 м.

#### ЧЕТВЕРТИЧНАЯ СИСТЕМА

В составе четвертичных отложений выделяются нижнечетвертичные эфузивно-пирокластические образования апукской свиты и рыхлые верхнечетвертичные водно-ледниковые и современные аллювиальные и делювиально-проливальные отложения.

#### Нижнечетвертичные отложения

##### Апукская свита (Q<sub>ар</sub>)

Свита слагает поля в юго-восточной части района. Она сложена базальтами, андезито-базальтами, андезитами, вулканомиктовыми кон-

гломератами и песчаниками, залегающими полого или субгоризонтально. Образования свиты перекрываются водно-ледниковые верхнечетвертичными отложениями. Эффузивы в составе свиты резко преобладают над вулканогенно-осадочными и пирокластическими разностями.

Нижняя часть свиты наиболее полно вскрывается на левобережье Тыкельнина, где развиты (снизу вверх) в м:

1. Базальты темно-серые среднепорфировые с линзами буро-красных кластолов, вверху мелкопорфировые базальты со столбчатой отдельностью, а в кровле они черные стекловатые ..	35
2. Базальты темно-серые с тонкой плитчатой отдельностью в основании, в кровле они черные пористые .....	40
3. Туфоконгломераты, цемент пепловый, содержащие остатки пыльцы <i>Abies</i> sp., <i>Betula sect. Albae</i> , <i>Tsuga</i> sp., <i>Salix</i> sp., <i>Alnus</i> sp. (определения И.А.Цепаевой) .....	5
4. Базальты, в основании тонкоплитчатые с постепенным переходом в массивные темно-серые ..	45
5. Пласт туфоконгломератов среднегалечных, слабо сцепленных псаммитовых туфовым материалом, в кровле залегают желтые туфы ....	10
6. Базальты, в основании афантитовые, вверху пузирристые шлаковые .....	35
7. Андезиты темно-серые .....	45
Мощность по разрезу 215 м.	
На восточном склоне г. Апавылгин вскрываются более высокие горизонты свиты (снизу вверх) в м:	
1. Андезито-базальты темно-серые до черных с редкими вкраплениями белого плагиоклаза ..	15
2. Андезито-базальты олигопорфировые черные микротрециноватые .....	25
3. Базальты темно-серые мелкопорфировые ..	30
4. Базальты оливиновые коричнево-красные крупнопористые .....	35
5. Базальты розово-серые крупнопорфировые ..	25
6. Базальты оливиновые темно-серые крупнопорфировые .....	30
7. Базальты оливиновые серые среднепорфировые .....	30
8. Андезиты серые микротрециноватые .....	25
Мощность образований по разрезу 235 м.	

На водораздельных пространствах ашукская свита преимущественно сложена андезитами и андезито-базальтами. Мощность отдельных потоков колеблется от 5-8 до 10-25 м. По спорово-пыльцевому комплексу и аналогии со смежными районами [8] возраст свиты определяется как раннечетвертичный. Общая мощность свиты 450 м.

#### Верхнечетвертичные отложения

Водно-ледниковые отложения ( $Q_{III}$ ) приурочены к долинам крупных водотоков, где они слагают аккумулятивный чехол по бортам примыкающих к поверхности покинутых и открытых долин. Они представлены плохо сортированными песчано-галечными отложениями с примесью валунов и супесей.

На левобережье Пахачи в состав водно-ледниковых отложений входит (снизу вверх) в м:

1. Галечники зеленовато-серые плохо окатанные с примесью валунов, песка и супеси .....	5
2. Песок темно-серый несортированный с примесью плохо окатанной гальки и гравия .....	10
3. Супесь желтоватая с примесью песка и гальки .....	1
4. Почвенный слой .....	0,2
Мощность общая 16,2 м.	

В водно-ледниковых отложениях в спорово-пыльцевых комплексах присутствуют *Sphagnum* sp., *Lycopodiaceae*, *Polypodiaceae*, *Cyperaceae*, *Selaginella sibirica* (Milde) Hieron., *Ericaceae*, *Compositae*, *Betula sect. Halea*, *Alnaster* sp., *Pinus* n/p *Narplexylon*, *Salix* sp. (определения Т.И.Капраковой, А.И.Бычковой, В.К.Сорокиной, И.А.Цепаевой), характеризующие позднечетвертичный возраст вмещающих отложений.

#### Современные отложения

Современные отложения представлены аллювиальными и делювиально-пролювиальными отложениями.

Аллювиальные отложения ( $Q_{IV}$ ) широко распространены в долинах Пахачи, Зинчайзайма и по их притокам. Масштабы их распространения определяются размерами долин. Речные отложения представлены аллювием русел, пойм и надпойменных низких террас. По крупности материала отложения неоднородны. В верхних течениях русел преобладают крупнообломочные плохо окатанные валуны, в средних течениях и в местах расширения долин наблюдаются хорошо окатанные гальки, иногда валуны, песок. Аллювий плохо сортирован. Мощность аллювия по крупным водотокам колеблется от 1-2 до 10-15 м.

Далекимально-проливальные образования покрывают склоны гор широкими щебнями. Они представлены щебнем, глибами, дресвой. Глибовые далекимальные отложения обычно встречаются на эфузивных породах корфовской и ашукской свит. Мощность далекия на склонах изменяется от 1 до 3 м, а у подножий и до 10-12 м.

Отложения конусов выноса обычно имеют небольшие размеры и приурочены к крутосклонным распадкам по всей площади. Отложения представлены несортированными неокатанными грубообломочными накоплениями. Мощность их от 3 до 10 м.

### И Н Т Р У З И В Н І Е О Б Р А З О В А Н І Я

На рассматриваемой территории установлены интрузивные, субвулканические и многочисленные дайковые тела позднемелового, палеогенового, ранне- и позднемиоценового и четвертичного возраста.

#### Позднемеловые интрузии и дайки

Позднемеловые интрузии представлены габбро и диабазовыми порфиритами, принадлежащими ватинскому интрузивному комплексу.

Габбро ( $\gamma K_2$ ). Установлено семь интрузивных тел данной группы, расположенных на междуречье Пахачи - Хайдонголава. Форма массивов субсогласная, приспособливавшаяся к складчатым структурам пород вулканогенно-кремнистого комплекса. Протяженность крупных из них составляет 3-4 км при ширине 1-2 км, мелких - 0,5-2 км при ширине 0,5-1,2 км. Все интрузии сложные по составу и представлены на 80-90% амфибол-пироксеновыми, пироксеновыми и биотит-пироксеновыми габбро. Реже встречаются разновидности, отклоняющиеся к сиенитам и пироксенитам.

Структура основных пород габбровая и гипидиоморфозернистая. Состав: плагиоклаз (до 50), авгит, отдельные кристаллы пиконита, бурая роговая обманка, биотит, реже - калишпат, кварц, апатит, сфен, рудный; вторичные - хлорит, эпидот, пренит, карбонат, альбит.

Разновидности, отклоняющиеся к габбро-сиенитам, встречаются в составе различных частей массивов, залегая в форме шаров линзовидной и овальной формы с нечеткими контактами. Структуры этих пород призматически зернистые, образованные плагиоклазом-битовитом, моноклинным пироксеном, биотитом, калинатровым полевым шпатом; акцессорные - рудный, апатит, сфен; вторичные - роговая обманка, хлорит, пренит.

Пироксениты приурочены к краевым частям массивов и, по-видимому, имеют форму шаров. Они обладают паницидоморфозернистой структурой и состоят из авгита, плагиоклаза (до 15%), оливиника (до 5%),

зеленой роговой обманки, апатита, сфена, рудного минерала. Оливин замещается серпентином и рудным.

Контакты массивов с вмешанными породами постепенные, часто осложненные тектоническими подвижками. Контактовые воздействия выражаются в образовании по эфузивам ватинской серии эпидот-плагиоклазовых роговиков с включениями мелкочешуйчатого биотита и в перекристаллизации яшм с образованием микрокварцитов и кварцитов. Мощность прословов не превышает 50-100 м. Для эндоконтактовых зон характерны полосчатые текстуры, обусловленные чередованием светлых (существенно полевошпатовых) и темных полос, сложенных фемиическими минералами.

По химическому составу (табл. I) рассматриваемые породы соответствуют габброндам. Наблюдаемые соотношения характеристик  $\text{Mg}^2 > \text{Fe}^2$  соответствуют пироксеновым разностям. Низкое "n" указывает на преобладание  $\text{K}_2\text{O}$  над  $\text{Na}_2\text{O}$ .

Позднемеловой, вероятно, предмастрихтский возраст интрузий определяется тем, что они прорывают и метаморфизуют отложения ватинской серии и не проникают в вышележащие толщи. Галька изверженных пород, тождественных интрузиям ватинского комплекса, встречается в конгломератах ляштанайской толщи.

Диабазовые порфириты ( $\beta \gamma K_2$ ) слагают ряд дайковых тел на правобережье Пахачи. Мощность даек 1-3 м, простиранье северо-восточное субширотное, падение крутое до вертикальных, протяженность не установлена. Вмешанные породы - вулканогенные и вулканогенно-кремнистые образования ватинской серии. Диабазы имеют сфицитные структуры. Они состоят из плагиоклаза (лабрадора), авгита, единичных зерен оливиника и буровой роговой обманки; из акцессорных минералов присутствуют магнетит и ильменит; вторичные минералы представлены альбитом, пренитом, минералами группы эпидота-пойзита и карбонатом. По химическому составу породы соответствуют лейкократовым разновидностям (повышенное значение характеристики "a" и "e", пониженное - "ь").

Отнесение даек диабазов к ватинскому интрузивному комплексу основано на схожести их состава и облика с вмешанными эфузивами и пространственной приуроченности к образованиям ватинской серии.

#### Палеогеновые дайки

Палеогеновые дайки особенно многочисленны в северной части района в пределах образований ватинской серии, именвеемской, мильгернейской свит и валъянской толщи. По составу они отвечают широкому спектру пород от гранодиоритов до базальтов.

Гранодиориты ( $\gamma^{\delta\rho}$ ) слагают две сближенные дайки северо-восточного простиранья, прорывающие массивы габброндов на правобережье

Пахачи. Мощность даек до 1 м, по простиранию не прослежены. Структура породы гипидиоморфозернистая; состав: андезин (51-57%), калишпат (20-25%), кварц (10-15%), роговая обманка (8-10%); акцессорные – апатит, магнетит; вторичные – хлорит, эпидот. По данным химического анализа порода относится к классу слабо пересыщенных кремнекислотой ( $15 > Q > 6$ ) и к группе богатых щелочами ( $a:c > 3$ ).

Гранодиорит-порфиры ( $\text{GDP}$ ) слагают ряд сугубо сближенных даек в северо-восточной части дайкового поля на правобережье Пахачи ниже по течению от устья Гельминеема. Простирание даек северо-восточное, для единичных тел – северо-западное, падение близко к вертикальному; мощность варьирует в пределах до 10 м, прослеженная протяженность отдельных даек достигает 50 м. Породы интенсивно изменены с образованием бластопорфировых структур и вторичных минералов – мусковита, граната, актинолита, эпидота, карбоната, которые иногда почти полностью замещают первичную ткань. Первичные реликтовые структуры представлены микрогранитовой и микрогипидиоморфозернистой. Из главных пордообразующих минералов устанавливаются плагиоклаз (30-50%), калишпат (до 15%), кварц (10-30%), биотит, псевдоморфно-замещающийся мусковитом, пироксен (до 15%), замещенный амфиболом актинолитового ряда; акцессорные – апатит и циркон.

Дайки ( $\text{D}_1$ ) слагают одну дайку на правом берегу Эничайвайма, в 3 км выше по течению от устья Княжеского. Мощность дайки около 10 м, прослежена она на расстояние до 100 м в широтном направлении. Структура породы порфировая с гиалопилитовой основной массой. Вкраепленники представлены андезином (½ 45), кварцем, роговой обманкой, моноклинным пироксеном, биотитом. Основная масса сложена мелким агрегатом зерен плагиоклаза, кварца, калишпата; акцессорные – апатит, циркон, рудный минерал. Вторичные изменения выражены в новообразованиях актинолита, эпидота, кварца, хлорита и карбоната.

Диорит-порфиры ( $\text{D}_2\text{P}$ ) слагают единичные дайки на правобережье Пахачи и в северо-восточной части территории на левом берегу Бол. Тыкельнина. Простирание даек меняется от субмеридионального до субширотного, мощности варьируют в пределах до 8 м, прослеженная протяженность – до первых десятков метров. Падения крутие, по преимуществу вертикальные. Породы обладают субоблитовыми и призматическими зернистыми структурами, сложены андезином (50-55%), роговой обманкой (25-30%), моноклинным пироксеном (до 10%), кварцем (5-6%); акцессорные – магнетит, апатит; вторичные – хлорит, карбонат, эпидот, пренит. По составу диорит-порфиры очень близки к основным диоритам, по Дали, но отличаются пониженными значениями  $Q$ .

Андезиты ( $A_P$ ) образуют дайки, установленные в истоках Пипикельнина и на правобережье Эничайвайма. Простирания даек субмеридиональные, мощности изменяются от 2 до 15 м, протяженность одной из

них установлена в 900 м, углы падения более  $80^\circ$ . Породы характеризуются порфировыми и олигопорфировыми структурами с гиалопилитовыми или бластопилитовыми структурами основной массы. Состав: андезин (30-60%), амфибол (до 30%), биотит (до 10%), пироксен (до 10%), редко – кварц и калишпат; акцессорные – апатит и магнетит; вторичные – актинолит, эпидот, кварц, хлорит, карбонаты.

Базальты ( $B_F$ ) слагают несколько даек, из которых три установлены в верховье Гельминеема и одна – в истоках Пипикельнина. Простирание даек субмеридиональное и северо-восточное, мощность изменяется в пределах от 1,5 до 4,5 м, прослеженная протяженность от 30 до 100 м. Структуры породы долеритовые и интерсерталльные. Состав: лабрадор (50%), оливин (30%), пироксен (5-20%), стекло (10-15%); акцессорные – апатит, магнетит; вторичные – ильдингит, хлорит, карбонат, кварц.

Общей чертой всех палеогеновых дайковых тел являются их взаимоотношения с вмещающими породами: тектонически нарушенные контакты, будинах, изгибы согласно общему залеганию вмещающих слоев, проникновение трещин кливажа из вмещающих пород и другие признаки, свидетельствующие об участии их в складчатом процессе совместно с вмещающими толщами. Определения абсолютного возраста дайковых пород (табл. 2) указывают на время их становления от 62 до 36 млн. лет, что, несмотря на малое количество анализов, может указывать на формирование их в несколько фаз на протяжении всего палеогена.

#### Раннемиоценовые интрузии и дайки

Раннемиоценовые интрузии наиболее широко развиты в районе. Они представлены штоками и дайками среднего состава, образующими или одиночные тела, или узлы, контролируемые глубинными разломами и магматическими центрами, и прорывают все стратиграфические подразделения вплоть до ильинской серии эоцен-олигоцен. Исключением являются вулканогенно-кремнистые образования ватынской серии, среди которых данных интрузий не установлено.

Шток гранодиорит-порфиров, расположенный на левобережье Эничайвайма на западной рамке листа и уходящий за пределы территории, имеет размеры  $2,5 \times 0,8$  км. Площадь дайкового поля на правом берегу Пахачи превышает  $30 \text{ км}^2$ . Протяженность отдельных даек достигает 2 км при мощностях до 30 м.

Обособленно располагаются массивы и сближенные с ними дайки на правобережье нижнего течения Пахачи. Один из массивов сложен диорит-порфиритами, имеет изометричную в плане форму с бухтообразными очертаниями контактов, занимает площадь  $4,3 \text{ км}^2$ , другой вы-

Химический состав математических писем

T a o d i n g I

Числовые характеристики по А.Н. Заваринскому

	$\alpha$	$\beta$	$\gamma$	$\delta$	$\epsilon$	$\zeta$	$\eta$	$\theta$	$\varphi$	$\psi$	$\chi$	$\psi$	$\sigma$
T2366-1	5,1	40,9	47,5	10,8	30,9	58,3	-	63,1	2,5	17,2	-21,5	0,6	
T2	5,9	37,8	52,5	-	25,3	45,9	28,8	52,1	0,7	13,2	-10,4	0,8	

Аналитик выполнены в лаборатории КГУ Г.И.Гуздевой (3402, 3407, 3380-5, 532-12, 3091-6, 3395-1) и в ЦПИ СВТУ М.В.Кондратиной (127-1, 2365, 2366, 236-1, 433-1, 439-2). Аналитик выполнены в лаборатории КГУ Г.И.Гуздевой (3402, 3407, 3380-5, 532-12, 3091-6, 3395-1) и в ЦПИ СВТУ М.В.Кондратиной (127-1, 2365, 2366, 236-1, 433-1, 439-2).

Таблица 2

## Абсолютный возраст магматических пород

Номер пробы на карте	Место взятия пробы	Порода и номер образца	Абсолют- ный воз- раст млн. лет	$\Delta t$		Возраст по геологическим данным
				$\Delta t$	$\frac{\Delta t}{\Delta t}$	
1	Левобережье Тынгельнина	Анделант, 2109	51	-	-	Палеоген
2	То же	Базальт, 2118	55,5	-	-	" "
3	Правобережье Энгайвайма	Дайк, 2734	21	-	-	Ранний миоцен
4	То же	Дайк, II43	62	-	-	Палеоген
5	Левобережье Кызылмысава- яя	Дайк, 109	27	-	-	Ранний миоцен
6	Правобережье Пахачи	Гранодиорит-порфир, Ч21	36	-	-	Палеоген
7	Левобережье Пахачи р. Бол. Тынгельни	Диорит-порфирит, 297	65	1,63	7,35	0,0037
8	Мелдуурчы Мал. и Больш. Тынгельнина	Диорит-порфирит, 311	27	-	-	Ранний миоцен
9		Анделант, 42	20 <sup>x</sup> )	1,50	2,02	0,0011
10	Правобережье Пахачи	Гранодиорит, 2365	45	3,80	12,4	Нижнечетвертич- ный

<sup>x</sup> Пробный анализ. Определения выполнены в свечках со АИ СССР Л.В.Фирсова (2365) и в лабту Т.К.Коньчуку (2109, 2118, 2734, II43, 109, 421, 297, 311, 42).

тянут в северо-западном направлении на 4 км при ширине до 1 км. Дайки прослежены на первые десятки метров и имеют мощность до 3-5 м.

Контакты раннемиоценовых интрузий крутые ( $80^{\circ}$  до вертикальных), характерны значительные воздействия на вмещающие породы, выраженные в развитии зон ороговикования шириной до первых метров (у даек) и изменений типа вторичных кварцитов в оторочках шириной до 100 м вокруг массивов.

Гранодиорит-порфиры ( $\text{G}^0\text{J}^1\text{N}^1$ ) обладают порфировой структурой с аллотриоморфнозернистой основной массой. Вкрапленники составляют 30-35% объема породы, представлены андезином, калиевым полевым шпатом, кварцем, биотитом. Основная масса состоит из плагиоклаза (30-50%), калишпатита (15-20%), кварца (15-25%), биотита (5-10%), роговой обманки и моноклинного пироксена. Аксессорные минералы: апатит, рудный, редко сфен, турмалин, рутил; вторичные - хлорит, серцинат, эпидот.

Диорит-порфиры ( $\text{d}^0\text{J}^1\text{N}^1$ ) имеют порфировидные структуры с гипидиоморфнозернистой и микродиоритовой структурами основной массы. Вкрапленники составляют 20-25% породы и представлены андезином, андезин-лабрадором, моноклинным пироксеном, роговой обманкой, биотитом. Основная масса представлена андезин-лабрадором (50-70%), моноклинным пироксеном (20-40%), калишпатом (4-8%), кварцем (0-4%); акссесорные - апатит, магнетит; вторичные - хлорит, карбонат, иддингситоподобный минерал. Диориты в отличие от диорит-порфириров имеют гипидиоморфнозернистые структуры при идентичном составе. В целом породы по химическому составу являются переходными к базитовым лампрофирам, о чем свидетельствуют основной плагиоклаз (высокое "с", низкое "а"), высокое среднее содержание фемических минералов (высокое "б"), их повышенная магнезиальность ("т").

Кварцевые диорит-порфиры ( $\text{q}^0\text{J}^1\text{N}^1$ ) пользуются меньшим распространением среди дайковых пород, обладают порфировидными структурами с гипидиоморфнозернистой структурой основной массы. Минеральный состав: андезин (65%), моноклинный пироксен (15%), калишпат (5%); кварц (5), биотит (до 1%); акссесорные (до 5%) - магнетит, апатит; вторичные - хлорит, карбонат, серцинат; по химическому составу приближаются к тоналитам, от средних типов, по Лами, отличаются лишь большей кремнистостью (Q) и глиноzemностью (a<sup>4</sup>).

С полями описанной группы интрузий связаны постмагматические изменения. Наиболее резко они выражены в пределах дайкового поля на правобережье Пахачи на участке ниже устья Галымысема. Здесь в пределах контактовых зон дайковых тел на мощность 5 м и более вмещающие породы вальянской и ляшганайской толщ ороговикованы [22].

Структуры роговиков порфиробластовые, пойкилогранобластовые, нематобластовые с роговиковой основной массой. В составе этих пород (по убыванию роли): пирит, образующий равномерную вкрапленность и гнейсовые обособления, кварц, амфиолит, диспосит, эпидот, мусковит, апатит, гранат, кордиерит, пироксен, магнетит, гематит, шеелит. Процессы изменений также захватывают и дайковые тела.

Дациты ( $\zeta N_1^1$ ) слагают дайки на правобережье Пахачи и в бассейне ее левого притока Киялхмаавальма. Простирание даек соответствует основным направлениям разрывных нарушений и меняется в широких пределах от северо-западного до северо-восточного. Мощности варьируют в пределах от 0,5 до 5 м, прослеженная протяженность отдельных из них достигает 300 м. Структура пород порфировая с микрокристаллической и фельзитовой основной массой. Вкрапленники составляют 8-20% объема породы и представлены олигоклаз-андезином, андезин-лабрадором, роговой обманкой, моноклинным пироксеном, биотитом. В составе основной массы плагиоклаз, кварц, калишпат, реже роговая обманка и пироксен; акцессорные - апатит, циркон, рудный. Вторичные минералы развиты в заметном количестве и представлены карбонатом, хлоритом, серцинитом, альбитом, эпидотом, кварцем. Контактовые изменения ограничиваются незначительными зонами закалки имевшихся пород (до 0,1 м).

Анdezиты ( $\wedge N_1^1$ ) образуют две дайки в верхнем течении Тыкельнина. Простирание даек субширотное, мощность до 3 м, падение вертикальное. Структура породы порфировая с гиалопилитовой основной массой. Вкрапленники составляют 15-25% объема породы, представлены андезином, роговой обманкой, пироксеном. Основная масса сложена плагиоклазом, пироксеном, калишпатом.

В отличие от интрузий палеогенового возраста раннемиоценовые дайки характеризуются секущим расположением к складчатым деформациям имевшихся пород. Контакты их резкие, не затронутые разрывными нарушениями. Определения абсолютного возраста (см.табл.2), выполненные для диорит-порфиритов и дацитов, указывают значения 27 и 21 млн. лет, что согласуется с выделением всей группы интрузий в раннемиоценовый магматический комплекс.

#### Позднемиоценовые субвулканические интрузии и дайки

Позднемиоценовые субвулканические интрузии и дайки развиты в южной части района на плоскости выходов пахачинской и кордовской свит. Они образуют группы и отдельные тела, приуроченные преимущественно к предполагаемым вулканическим центрам. В составе субвулканических интрузий выделяются липариты, андезито-дациты, андезиты и андезито-базальты, а также отвечающие им дайковые свиты.

Липариты ( $\lambda N_1^2$ ) образуют ряд субвулканических тел в истоках Эчвяяма и в долине Пахачи против устья Этеткина. Форма одиночных массивов в плане простая изометрическая, сближенных тел - более сложная с бухтообразными очертаниями контуров. В ряде случаев форма тел контролируется разрывными нарушениями. Размеры тел 1-4 км<sup>2</sup>, наиболее крупный массив, расположенный у восточной рамки листа, имеет протяженность в широтном направлении 6,5 км при ширине до 3,5 км, уходит за пределы района. В рельфе липаритовым субвулканам отвечают положительные куполообразные формы.

Породы обладают афировыми и олигофировыми структурами с микро-пойкилитовой и макроаллотриморфозернистой структурами основной массы. Вкрапленники представлены кварцем (5-7%), андезином (3-5%), биотитом (1-2%). В основной массе андезин (40-55%), кварц (35-40%), биотит (0-5%); акцессорные - циркон и апатит. По особенностям химического состава данные породы соответствуют плагиолипаритам, на резко преобладает над K (высокое "n") при пересыщенности глиноzemом (a').

Андезито-дациты ( $\wedge \zeta N_1^2$ ) установлены в истоках Майнгиналийвайма. Площадь массива 1,7 км<sup>2</sup>, конфигурация его предопределена системой ограничивающих разрывных нарушений субширотного, меридионального и северо-западного направлений. Породы имеют порфировидные структуры с гиалопилитовой, микрофельзитовой или гиалиновой структурами основной массы. Текстуры массивные и флюидальные. Вкрапленники составляют 20-25% объема породы, представлены андезином (на 90%), гиперстеном и магнетитом. Основная масса сложена прозрачными или пятнистыми слабо двупреломляющимися вулканическим стеклом с микролитами плагиоклаза и кристаллитами темноцветных минералов. На участках микрофельзитовых структур стекло нередко загрязнено рудной пылью.

Андезиты ( $\wedge N_1^2$ ) установлены в истоках Ненивеема, где слагают небольшой (0,6x3,0 км) резко вытянутой в северо-восточном направлении массив и сопровождающий его рой даек. Конфигурация массива простая, подчиненная развитию здесь разрывным нарушениям северо-восточного и северо-западного направлений. Большая часть даек располагается в северной части поля имевшихся пород и имеет мощность от 1 до 3 м, установленную протяженность до 50 м. Породы обладают порфировыми и афировыми структурами с гиалопилитовой, пилотакситовой или витрофировой структурами основной массы. Во вкрапленниках наблюдаются лабрадор № 60-65 (20-40%), моноклинный и ромбический пироксен (5-10%), единичные чешуйки биотита и зерна кварца. Основную массу составляют лейсты андезин-лабрадора № 48-52 (10-30%) и изометрические или призматические зерна моноклинного пироксена (10-15%), погруженные в вулканическое стекло с показателем преломления ниже показа-

тала праломления пихтового бальзама. По химическим характеристикам андезиты приближаются к андезито-базальтам (низкое "а", высокие "с" и "в"), но при обогащенности кремнеземом ( $Q = +8,9\text{--}11,6$ )  $\text{Na}$  преобладает над  $\text{K}$  (высокое "и").

Андезито-базальты ( $\beta Q_1^2$ ) слагают тела совместно с липаритами в составе субвулканического массива у восточной рамки района. Форма тела лакколитообразная, что устанавливается по особенностям конфигурации контактов на пересечениях с рельефом местности, размер 2,0x3,5 км. Центральная его часть перекрыта эффузивно-пирокластическими образованиями апукской свиты. Структура андезито-базальтов порфироровне с призматически зернистой, участками интерсертальной основной массой. Вкрапленники представлены лабрадор-битовником  $\approx 65\text{--}72$  (10-25%), ромбическим и моноклинным пироксеном (10-15%) и оливином (0-5%). Основную массу образуют листы лабрадора  $\approx 50\text{--}56$  (30-50%), зерна пироксена (10-20%), погруженные в бурое, местами прозрачное вулканическое стекло! Аксессорные - магнетит и апатит.

С субвулканическими интрузиями связаны постмагматические изменения пород, охватывающие как вмешавшиеся толщи, так и сами тела. Наиболее изменениям вблизи интрузий подвергаются эффузии и пироклассика корфовской свиты. Вкрапленники в эффузивах нацело замещаются карбонатом, серцитом, рудным. По основной массе развиваются криптокристаллическое глинистое вещество, карбонат, опал, гидроокись железа. Туфи превращаются в глинизованные пестро окрашенные (бело-серые, бело-розовые, кирпично-красные) породы.

Для позднемиоценовых субвулканических интрузий и даек устанавливается пространственная и генетическая связь с эффузиями корфовской свиты. По своему облику они практически не отличаются от соответствующих покровов. Наряду с секущими контактами и изменением вмешавших пород наблюдаются тесные переходы субвулканических тел и даек в покровы. С другой стороны, в ряде мест [32] фиксируются случаи перекрытия субвулканических интрузий эффузивно-пирокластическими образованиями апукской свиты раннечетвертичного возраста, что все вместе дает основание относить их к позднемиоценовому магматическому циклу. В общем ряду позднемиоценовых субвулканов наиболее молодыми являются липаритовые, секущее положение которых по отношению к андезито-базальтам наблюдалось на юго-востоке района [32].

#### Нижнечетвертичные субвулканические интрузии и даики

Субвулканические интрузии и даики раннечетвертичного возраста распространены на территории развития лаво-пирокластических образований апукской свиты и размещаются как в последних, так и в под-

стилающих отложениях. Даики и тела, как правило, грушируются в отдельных узлах, отвечающих, по-видимому, вулканическим центрам указанного времени. Имеет место пространственное совмещение данных центров с интрузивными телами, относящимися к более ранним магматическим циклам, что может указывать на долгоживущий характер вулканических структур и тектоническое их развитие с миоценом.

Нижнечетвертичные субвулканические интрузии и даики по составу представлены базальтами, андезито-базальтами и андезитами.

Базальты ( $\beta Q_1$ ) образуют тела и даики на левобережье Пахачи, в истоках Бол. Эчвайма. Форма тел на левобережье Пахачи, где они вскрыты на наиболее глубоком эрозионном срезе, резко удлиненная, приближающаяся к дайковой, и по направленности соответствует развитию здесь разломам северо-восточного направления. В других местах, отвечающих более высоким гипсометрическим и эрозионным уровням, тела имеют форму, приближающиеся к изометрическим с размерами до 1,2x2,5 км. Даики концентрируются или вблизи субинтрузий, или же образуют самостоятельные поля, часто с радиальным расположением. Протяженность отдельных даек достигает 0,5 км, но большинство даек имеет длину в несколько десятков километров. Мощности изменяются от 0,5 до 25 м.

Структуры пород порфироровне с интерсертальной основной массой. Вкрапленники составляют 15-20% объема породы и представлены лабрадором, гиперстеном и моноклинным пироксеном. Основная масса сложена плагиоклазом, гиперстеном, моноклинным пироксеном, стеклом; акессорные - рудный минерал, апатит.

Андезито-базальты ( $\alpha \beta Q_1$ ) и андезиты ( $\alpha Q_1$ ) слагают одиночные лайки и группы в истоках Мал. и Бол. Эчвайма, Майнгнанльвургинвальме и небольшое субвулканическое тело на правобережье Кагинпенклана. Протяженность отдельных даек достигает 2,0 км, большинства - до 0,6 км, характеризуются они мощностями от 0,5 до 12,0 м, преобладающими являются мощности 1-3 м. Породы по структуре и петрографическим особенностям практически неотличимы от андезито-базальтов и андезитов, залегающих в форме покровов и потоков корфовской и апукской свит. В общем случае их особенностью является большая степень вторичных изменений, выраженных в карбонатизации, хлоритизации, пелитизации и цеолитизации. Вмешавшиеся породы на контакте с даиками обычно осветлены.

#### Т Е К Т О Н И К А

Рассматриваемая территория, входящая в состав северной части Корякско-Камчатской кайнозойской складчатой области [15], располагается в пределах двух структурно-формационных зон: Центрально-Корякской в северной своей части и Олюторской в южной [14]. Струк-

чера Центрально-Корякской зоны образованы терригенными отложениями, имеют сложную морфологию складок различных порядков (рис.1) и характеризуются ровным отрицательным магнитным полем и спокойным полем значений силы тяжести (рис.2). Из региональных структур в пределах этой части района выделяются Учхичильское горстовое поднятие и Энчай-Укалятский синклиниорий [6, II]. Структуры Олюторской зоны образованы вулканогенно-кремнистыми, терригеническими, вулканогенно-осадочными и вулканогенными комплексами, степень дислоцированности которых последовательно упрощается от сложной для нижних горизонтов геологического разреза до весьма простой – для верхних. Магнитное поле характеризуется северо-восточным планом знакопеременных величин, поле силы тяжести образует несколько разноориентированных глубоких минимумов и максимумов. Среди структурных элементов первого порядка здесь выделяются Вывенско-Ватинский горст-антеклиниорий, Средне-Пахачинское антиклинальное поднятие и Пахачинско-Апукская впадина [14].

Наряду со складчатыми структурами регионального порядка выделяется Вывенский глубинный разлом – тектоническая зона, играющая в структуре земной коры района и истории ее развития роль шовной. Вывенский глубинный разлом фиксируется по развитию вулканогенно-кремнистых образований ватинской серии и интрузий основного состава. По магнитным данным (см.рис.2) ему соответствует резкая смена спокойного отрицательного поля знакопеременным дифференцированным восток-северо-восточного и широтного плана. По гравиметрическим данным ему соответствует отчетливая смена однородного поля с низкими градиентами на дифференцированное поле резких изменений значений силы тяжести.

Различия в степени дислоцированности геологических образований района, присутствие угловых несогласий в разрезе позволяют выделять здесь два структурных яруса: нижний ( $K_2-Q_1$ ) и верхний ( $H_1-Q_1$ ).

Нижний структурный ярус сформирован отложениями от верхнего мела до нижнего миоцена включительно. К нему отнесены все структурные элементы Центрально-Корякской зоны, Вывенско-Ватинский горст-антеклиниорий и Средне-Пахачинское антиклинальное поднятие Олюторской зоны, характеристика которых приводится в порядке с севера на юг.

Учхичильское горстовое поднятие располагается в верхнем течении Энчайваймы, сложено маастрихтовыми песчано-глинистыми отложениями импенвеемской свиты и характеризуется сложным блоковым строением. Структуры поднятия ориентированы в северо-восточном направлении и располагаются под углом к более широтному плану смежных с юга образований. Определенный его тектонический облик разрывные нарушения образуют систему сочетания продольных разломов северо-восточно-

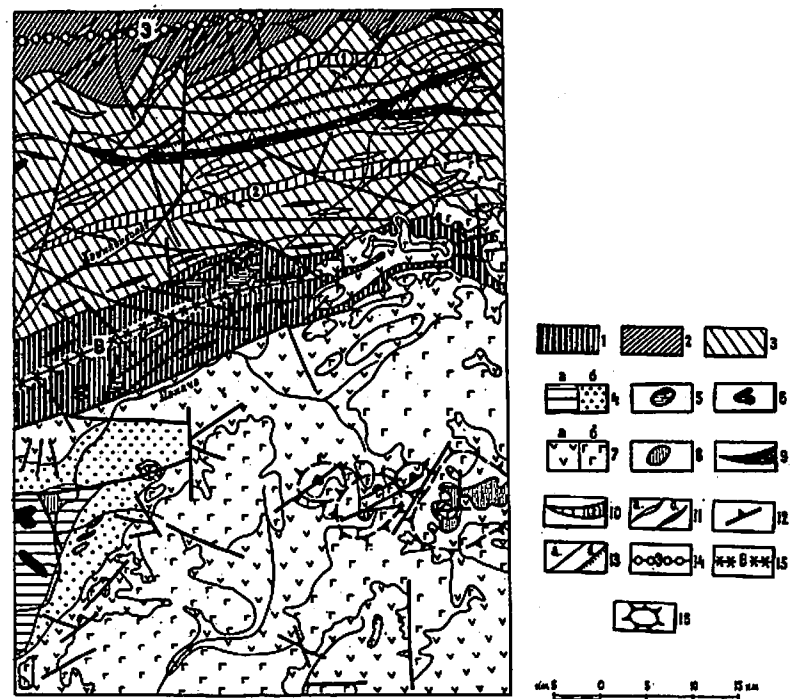


Рис. I. Тектоническая схема

I-6 – нижний структурный ярус ( $K_2-Q_1$ ): I – кремнисто-вулканогенная формация, Вывенско-Ватинский горст-антеклиниорий, 2 – асцидная формация, Учхичильское горстовое поднятие, 3 – фишиевая формация, Энчай-Укалятский синклиниорий, 4 – карбонатно-терригенно-фишиевидная (а) и молассовая (б) формации, Средне-Пахачинское антиклинальное поднятие, 5 – позднемиоценовой интрузивный комплекс (ватинский), 6 – раннемиоценовый комплекс субвулканических интрузий; 7-8 – верхний структурный ярус ( $H_1-Q_1$ ): 7 – андезито-базальтовая (а) и базальтовая (б) наземные вулканогенные формации, Пахачинско-Апукская впадина, 8 – позднемиоценовый и раннечетвертичный комплекс субвулканических интрузий; 9 – Гельминвеемская антиклиналь, 10 – синклиналии: Пипикель-ниинская (1), Тыкельниинская (2), II – складка высоких порядков; синклиналии (а), антиклиналии (б), 12 – моноклиналии, 13 – разрывные нарушения: сбросы, взбросы, зоны смятия (а), надвиги с указанием направления падения смесятеля (б), 14 – зона Энчайского глубинного разлома, 15 – зона Вывенского глубинного разлома, 16 – предполагаемые центры вулканотектонических структур

го ( $30$ – $50^\circ$ ) направления и поперечных к нему северо-западных ( $300$ – $320^\circ$ ). Складчатые структуры осложнены в процессе движений по этим разломам и отрывочно устанавливаются в макраразломных блоках. Для них характерен относительно пологий ( $20$ – $30^\circ$ ) падения пород в мульдах, резко крутые ( $70$ – $80^\circ$  до вертикальных) на крыльях, при слабом развитии антиклинальных перегибов, с осевыми плоскостями которых в большинстве случаев совпадают продольные разломы.

На участках моноклинального залегания пород, отвечающих крыльям разорванных складок, характерна запрокинутость в сторону юго-востока с обратным падением склоности под углами до  $60^\circ$ . Параметры синклинальных складок, реставрируемых в сложной блоковой структуре, обычно составляют 2–3 км по ширине и 3–5 км по протяженности. Антиклиналь по ширине, как правило, не превышают 1,5 км, но по протяженности прослеживаются на более значительные расстояния. Осевые их частям отвечают зоны интенсивного смятия и дробления. Ядра симметричальных структур обычно сложены верхними кремнистыми горизонтами импинвеемской свиты, подошвенные – ее нижними преимущественно аргиллитовыми пачками.

Зинчай-Укалаятский синклиниорий является одной из крупнейших структур региона и на данной территории имеет четкое выражение. Северный борт синклиниория проводится по подошве ритмичнослоистого фликового пересланья пестниковых и алевролитов мильгернайской свиты верхнемелового возраста, южный борт – по тектонической границе с вулканогенно-кремнистыми образованиями ватинской серии. Центральная часть синклиниория выполнена верхнемеловыми – палеогеновыми флишевыми отложениями вальянской и ляпганацкой толщ. Ширина синклиниория изменяется в юго-западном направлении от 20 до 25 км, осевая линия простирается на СВ –  $75^\circ$ , располагаясь в предгорьях главного водораздела Корякского хребта со смещением к юго-восточному борту.

Тектоническое строение синклиниория чрезвычайно сложное, обусловленное напряженной складчатостью и широким развитием разрывных нарушений. В его структуре выделяются три сопряженные складки (с севера на юг): Пиликельинская синклиналь, Гельмывеемская антиклиналь и Тыкальинская синклиналь.

Пиликельинская синклиналь прослеживается вдоль северного борта синклиниория на протяжении 30 км по выходам отложений вальянской толщи верхнего мела-палеогена. Ширина складки составляет 5–7 км, крылья образованы отложениями мильгернайской свиты верхнего мела. Осевая поверхность круто ( $70^\circ$ ) наклонена на юг. Углы падения пород в северном крыле составляют  $50$ – $60^\circ$  в южных румбах, в южном –  $80^\circ$  в северных румбах. В целом для тектонического плана северного борта синклиниория характерно взаимодействие северо-восточного на-

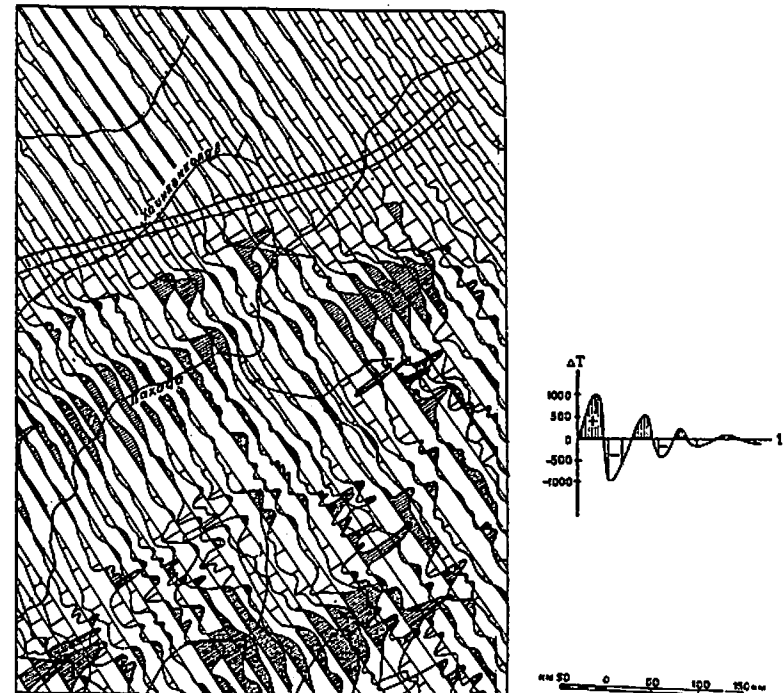


Рис.2. Карта магнитного поля (графики  $\Delta T$ )

правления складчатости, развитой в пределах Учихчильского горстово-поднятия и субширотного. Оси складок северо-восточного плана и продольные разломы образуют входящие углы к структурам синклиниория, с чем связана ступенчато-перистая конфигурация его крыла и S-образные изгибы оси Пиликельинской синклинали.

Гельмывеемская антиклиналь прослеживается в субширотном направлении на 50 км по выходам нижних горизонтов мильгернайской свиты при ширине 6–7 км. На восточном фланге складка разветвляется на две ветви продольным синклинальным перегибом, в мульде которого выступают отложения вальянской толщи. Осевая поверхность под углом  $60$ – $70^\circ$  наклонена на юг, крылья параллельно-сжатые, осложнены дисгармоничной складчатостью высоких порядков. По системе надвигов и продольных взбросов, падающих к югу, северное крыло имеет чешуйчатое строение, при котором каждая южная чешуя с амплитудой от десятков до сотен метров надвинута на северную. Наиболее значительные осложнения наблюдаются в зоне надвигов на лево- и правобережье

Пицельнина, из которых северный ограничивает крыло Гельмивеемской антиклинали, а южный проходит вблизи ее оси, срезая на восточном фланге последнюю. Для складок высоких порядков, осложненных антиклиналью, характерны частые undулации шарниров, крутизна которых местами достигает вертикального положения, невыдержанность по протяженности (первая сотня метров) и узкие (десятки метров) изоклинальные формы.

Тыкельинская синклиналь сопряжена с Гельмивеемской антиклиналью и отвечает наиболее прогнутой осевой части Энчай-Укалаатского синклиниория. В ее строении участвует мощный (около 3000 м) комплекс терригенных верхнемеловых палеогеновых отложений, включающий вальянскую и лингтанскую толщи. Ось складки простирается через весь район в направлении на СВ-75°. Ширина с запада на восток изменяется от 10 до 7,5 км. Северное крыло характеризуется относительно пологим залеганием пород (30-50°), кине запрокинуто на север вдоль Быченского глубинного разлома и имеет падение под углами от 40 до 60°. Для него характерно развитие чрезвычайно сложных с малой амплитудой складок. В сбрасываниях они фиксируются в виде половинных или полуторных изгибов слоев сопряженных посредством разрывных нарушений и запрокинуты согласно общему подвороту крыла к северу. При приложении зон динамометаморфизма, выраженные в появлении плойчатости и склоневатости, не совпадающей со склонностью и местами перерабатывающей ее. Вдоль южного крыла синклинали параллельно фронту надвига вулканогенно-кремнистых пород следятся резкие изоклинальной формы антиклинальные складки, запрокинутые к северу вплоть до лежачего положения. Система этих складок в сочетании с надвигом характеризует южный борт Энчай-Укалаатского синклиниория.

Вывенско-Ватынский горст-антиклиналь ограничивает с севера Ольторскую структурно-формационную зону, прослеживается за пределы района и приурочен к Вывенскому глубинному разлому. Ширина его в пределах территории листа достигает 10 км, простижение северо-восточное (70-80°). Сложен антиклиналью породами ватынской серии сантон-кампана. В его структуре выделяются полосовые зоны антиклиналей, а в осевой части - синклиналей. Складки имеют сложную морфологию, близкую к изоклинальям, запрокинутым на север, что создает общую ложно-моноклинальную структуру с падением пород под углами 50-80°. Обратные падения встречаются редко. Структуры осложнены многочисленными продольными и поперечными разломами.

Средне-Пахачинское антиклинальное поднятие располагается на простирании смешной с запада Вывенской антиклинали [9]. В ядре его развиты эоцен-олигоценовые отложения ильинской серии, на крыльях -

пахачинской свиты миоценового возраста. Ширина структуры в пределах района составляет 15 км, уменьшаясь на северо-восток в сторону погружения под перекрывающие вулканогенные образования Пахачинско-Апукской впадины. Протяженность составляет около 25 км. Залегание пород в ядре характеризуется крутыми углами вплоть до вертикальных и осложнениями по разломам. К этой части поднятия приурочены субвулканические интрузии. На крыльях породы залегают с углами падения 30-40°. В осевой зоне на переклинальном замыкании углы падения выполняются до 10-15°. Складки высоких порядков нетипичны для структуры поднятия и наблюдаются только вблизи разрывных нарушений.

Верхний структурный ярус сформирован вулканогенно-осадочными и вулканогенными образованиями плиоцен-раннечетвертичного возраста, перекрывающими с резким угловым несогласием все более древние отложения и выполняющими Пахачинско-Апукскую впадину.

Пахачинско-Апукская впадина занимает южную и юго-восточную части листа и прослеживается за его пределы. В региональном структурном плане впадина является наложенным геотектоническим элементом, перекрывающим структуры Ольторской зоны, на окраинах - Центрально-Корякской. Нижние горизонты выполняющих впадину геологических образований сложены вулканогенными и грубообломочными осадочными отложениями корфовской свиты плиоцена. Изменение мощностей этих отложений от 900 м в центре поля их развития до полного выклинивания к северу указывает на их формирование в условиях развивающейся вулканотектонической депрессии. Первичные углы наклона этой депрессии характеризуют северо-западный борт Пахачинско-Апукской впадины и составляют первые градусы. Наложенные деформации в образованиях корфовской свиты проявляются пологими куполовидными поднятиями и опусканиями с углами наклона крыльев до 15° и размерами в первые километры.

Верхние горизонты Пахачинско-Апукской впадины сложены вулканическими апукской свиты раннечетвертичного возраста, которые во внутренних частях впадины залегают на плиоценовых образованиях, а на ее периферии в бассейне Тыкельнина - непосредственно на верхнемеловых вулканогенно-кремнистых и терригенных отложениях, резко срезая структурный план последних. В рельфе апукская свита занимает водораздельные пространства, образуя в различной степени расчлененное лавовое плато, для которого характерно горизонтальное или пологое (до 10°) залегание, обусловленное, с одной стороны, неровностями долавового рельефа, с другой, - наклонами на склонах вулканических аппаратов. Группа предполагаемых центров излияния выделяется в истоках Бол.Эчвама по присутствию субвулканических интрузий и даек.

В целом для рассматриваемой части Пахачинско-Апукской впадины характерно пологое ( $2-3^{\circ}$ ) погружение выполненных ее образований с северо-запада на юго-восток от складчатых структур Центрально-Корякской зоны в направлении к ее центру.

На площади листа широко развиты разрывные нарушения. Наиболее крупные из них пролегают на стыках региональных структур и литологически разнородных толщ и отражают тектонические движения вдоль Вывенского глубинного разлома. Многие прослеживаются на сотни километров, играя ведущую роль в тектоническом плане Корякско-Камчатской складчатой области. На данной территории к таким нарушениям относятся надвиги вдоль северного фронта ватинской серии, разлом, ограничивающий ее с юга, серия сопряженных разломов, следящихся на стыке Учхичильского горстового поднятия и Эничай-Укалаитского синклиниория. Большинство второстепенных разломов является сперящими к ним или возникшими впоследствии, но под контролем этих главных разломов. Надвиг ватинской серии на структуры Эничай-Укалаитского синклиниория имеет углы падения от 0 до  $80^{\circ}$  в иных румбах. В его зоне развиты будинах, разлинование, закатывание пластов песчаников и кремнистых пород, катаклизм и возникновение меланжа.

Движение пород по надвигу в северо-западном направлении фиксируется закономерным развитием в компетентных горизонтах аллохтона и автохтона запрокинутых бескорневых складок волочения с амплитудами в первые десятки метров. Горизонтальное перемещение по надвигу предположительно составляет величину до 3 км. Разрывные нарушения вдоль северного борта Эничай-Укалаитского синклиниория образуют сходящиеся под острым углом систему субширотных и северо-восточных разломов. Первые имеют характер продольных взбросов и надвигов с падениями плоскостей смесятелей к югу, вторые – сбросов. Вертикальные амплитуды перемещений по этим разломам составляют сотни метров, горизонтальные по надвигам – до 1 км. Надвиги имеют контролирующее значение в локализации ртутного оруденения.

Разломы в пределах Пахачинско-Апукской впадины имеют сколовый характер, направленность их подчинена блоковой структуре складчатого фундамента и вулканотектоническим элементам. Наиболее крупный из них прослеживается на стыке с Вывенско-Ватинским горст-антиклиниорием. Он является крутопадающим сбросом с амплитудой перемещения опущенного юго-восточного крыла от 0,5 до 1,5 км.

История формирования структур района тесно связана со стадийностью геосинклинального процесса, протекавшего различно для Центрально-Корякской и Олоторской геосинклинальных зон. Для первой из них характерны мис-, для второй звегосинклинальные черты развития. Ранним стадиям геосинклинального процесса соответствуют сантон-

кампанские вулканогенно-кремнистые образования ватинской серии, стечавшие спилито-кератофировой и яшмовой субформациям. В конце мелового времени северная часть рассматриваемой территории в пределах Центрально-Корякской зоны испытывала относительные восходящие движения, южная – погружение, где накапливались позднемеловые и палеогеновые ритмичнослоистые толщи флишевой формации. В Олоторской зоне в этот период происходит последовательная смена меловой спилито-кератофировой и яшмовой субформаций дат-палеогеновой порфиритовой, широко развитой за пределами района (хакинская, ачай-вяямская, говенская свиты), и палеогеновый карбонатно-терригенно-флишоидной (ильинская серия). Орогенная стадия развития протекала в Центрально-Корякской зоне с олигоценового, а в Олоторской – с миоценового времени. Для нее характерно в Олоторской зоне накопление конгломератов и угленосных отложений молассовой формации (пахачинская свита миоценца). В заключение орогенной стадии формируются андезито-базальтовая (корфовская свита) и базальтовая (апукская свита) формации.

## ГЕОМОРОФОЛОГИЯ

Рельеф описываемой территории листа сформировался в результате взаимодействия различных по характеру и значимости факторов в определенной геологической и физико-географической обстановке. Начало формирования горного рельефа в северной части площади относится к дочетвертичной эпохе, а на юге – к позднечетвертичной. На этой территории выделяются три категории рельефа: денудационно-тектонический, лавового плато и аккумулятивно-эрэзионный (рис.3).

Денудационно-тектонический рельеф развит в центральной части площади и подразделяется по морфологическим признакам на низко-среднегорный и средне-низкогорный типы рельефа.

Низко-среднегорный рельеф с абсолютными высотами 600-1200 м и относительными превышениями до 600 м образован на отложениях импенвеемской и мильгернайской свит и вальянской толщи. Он представлен грядовым мелкогорьем и занимает северо-западную часть площади листа (бассейн Бол. Якяквайма и низовья Княлхымаваяма). Водотоки разной ориентировки разделяют невысокие островершинные гряды с пологими склонами; гряды в результате денудации имеют мягкие очертания. Пониженные участки, тяготеющие к открытым и широким долинам, заболочены. Долины ручьев в основном извилисты, имеют V-образный профиль, иногда ящикообразный (р. Бол. Якяквайм). В междуречьях встречено много нивальных форм рельефа: небольшие кары, нивальные ниши.

Средне-низкогорный рельеф развит на разновозрастных кремнистых и вулканогенных образованиях. Морфологически он характеризует-

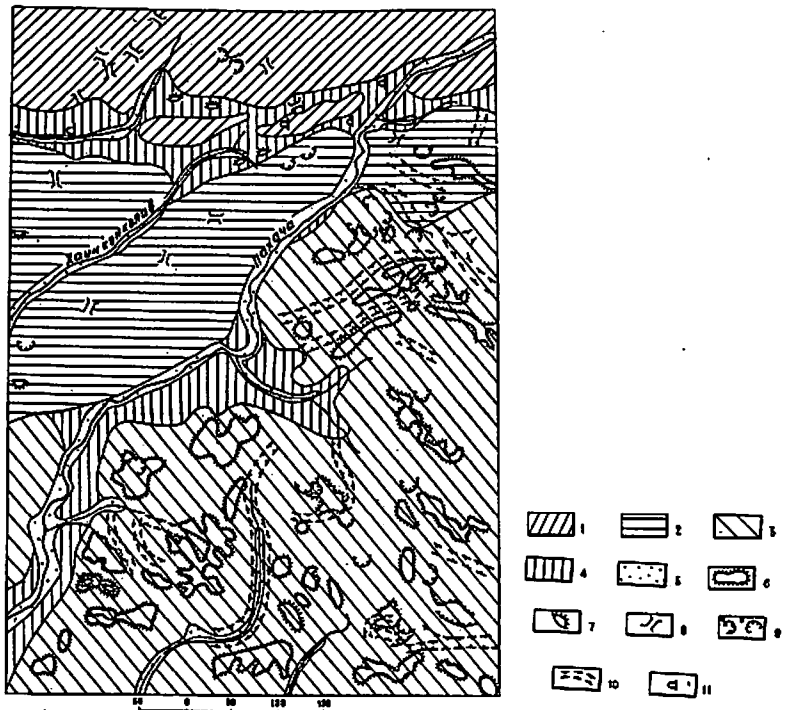


Рис.3. Геоморфологическая схема

I - низко-среднегорный рельеф; 2 - средне-низкогорный рельеф; 3 - рельеф лавовых плато; 4 - холмисто-увалистый рельеф; 5 - аккумулятивно-эрзационный рельеф; 6 - столовые горы; 7 - морены; 8 - сквозные долины; 9 - цирки (а), кары (б); 10 - трогообразные долины; II - бараньи лопы

ся абсолютными высотами 1000–1400 м, относительными превышениями до 1000 м и представляет собой глубоко расчлененную область с остро-вершинными крутосклонными водоразделами и разветвленной речной сетью. Формы водоразделов разнообразные и обусловлены литологическими особенностями пород. Узкие, гребневидные и скалистые вершины водоразделов и отдельных сопок в сочетании с крутыми склонами развиты на устойчивых к денудации породах (конгломераты, кремнистые породы и редко песчаники). Склоны имеют выпуклый профиль, книзу они выполняются. На таких водоразделах присутствуют многочисленные скальные выходы коренных пород, останцы и глыбовые развали, которые сменяются делювием. Глинистые и песчано-глинистые отложения обуслов-

или мягкие оглаженные формы вершин и пологие склоны, которые в основном покрыты делювием с редкими выступающими скальными выступами.

Речные долины в пределах денудационного тектонического рельефа в основном заложены по ослабленным тектоническим зонам и, как правило, имеют прямолинейный или ломкий характер. Примером последнего служит долина Бол.Хайнконколава, которая пересекает литологически разные пачки пород и многочисленные зоны нарушений. В истоках ручьев попеченный профиль долин характеризуется V-образными, а в средних течениях – ящкообразными формами. Русла многих водотоков (реки Бол.Хайнконколав, Хайнконколав и др.) стеснены щелевидными и каньонообразными берегами.

Интенсивное развитие глубинной эрозии Пахачи обусловлено более низким ее базисом эрозии по сравнению с р.Энчайваем. Это привело к смешению водораздельных линий на междуречьях Энчайваем-Пахача и Пахача – Хайнконколав, образованию открытых долин из одной речной системы в другую. Сквозные долины, так же как и большинство долин крупных рек, имеют ящкообразный характер. В истоках ручьев много цирков, днища которых ограничены скалистыми стенками и закрыты каменными развалами. Часто на дне цирков наблюдаются фирновые снежники и небольшие озера. Ширина цирков 300–800 м, высота скалистых стенок 100–120 м.

Рельеф лавовых плато развит на вулканогенных породах корфовской и апукской свит южной части рассматриваемой площади. Абсолютная высота отметок колеблется от 600 до 1400 м, относительные превышения 100–600 м. Рассматриваемый рельеф расчленен глубоко врезанными водотоками, в силу чего от единого плато сохранились плато- и столбообразные поверхности и вершины, разделенные седловинами и расположенным верховьями долин. Плоские поверхности либо горизонтальны, либо полого наклонены, подчеркивая куполовидный характер водоразделов, что, видимо, обусловлено наличием ряда вулканоструктур. Они оконтурены отвесными скальными уступами, высота которых достигает 100 м. В верхних частях склонов наблюдаются ступени чередующихся покровов лав и их туфов, ниже склоны выполняются и переходят в крутые борта речных долин.

Наиболее сформированными долинами являются долины Пахачи, Неквукюла, Неквевема. Они имеют север-северо-восточное направление и характеризуются развитием аккумулятивных форм рельефа, сформированных на водно-ледниковых отложениях. Форма долин рек корытообразная с наличием каров, нивационных ниш и с пологонаклонными днищами. В карах северной экспозиции часто встречаются снежники. Более мелкие водотоки имеют V-образный характер и завалены крупными глыбами и валунами. В пониженных участках распространены заболоченность и явления термокарста.

Аккумулятивно-эрзационный рельеф наблюдается по долинам наиболее крупных рек и подразделяется на два типа – холмисто-увалистый и эрозионно-аккумулятивный речных долин. Первый тип рельефа образован на водо-ледниковых отложениях. На севере площади он развит главным образом на широте Княжеского озера и Гельминвема с захватом долин Энчайвяма и Пахачи. На юге преобладающее развитие он получит на левобережье Пахачи и в нижнем течении Эчваляма. Этот тип рельефа наиболее характерен для левобережья Пахачи, где он представляет собой всхолмленную поверхность с озерами и западинами, имеющими различную ориентировку. Холмы имеют куполовидную и вытянутую форму, высота их до 15–20 м, западины временем задерживают талую воду, глубина их различная от 3–5 до 10 м. Современная гидросеть расчленяет всхолмленную поверхность на глубину до 15 м. На севере площади холмисто-увалистый рельеф характеризуется меньшей расчлененностью, холмы большей частью низкие слаженные невысокие, озера имеют небольшие размеры и большей частью мелкие пересыхающие, западины между холмами отсутствуют.

Эрозионно-аккумулятивный рельеф речных долин развит по долине Пахачи, ее боковым притокам, по долине Энчайвяма и характеризуется комплексом пойменных и надпойменных террас. Река Пахача пересекает всю площадь с северо-востока на юго-запад. Течет она в узкой (от 0,4 до 1 км) долине с обрывистыми берегами, пойменные террасы низкие с множеством проток, надпойменные террасы 5,8, 15 и 20 м уровней развиты слабо и сложены коренными породами и реже водо-ледниковыми отложениями. Долина Энчайвяма более разработана, ширина ее в пределах площади листа достигает 3 км. Поверхности надпойменных террас (высотой 2–3 м) имеют ширину 0,3–0,5 км и протяженность до 10–12 км, более высокие поверхности террас имеют меньшие размеры. 2-я надпойменная терраса высотой 4–5 м имеет ширину от 50 м до 0,5 км и протяженность до 6–8 км. Террасы относятся к смешанным, коренным и аккумулятивным.

Ледниковые экзарационные и аккумулятивные формы рельефа в значительной мере переработаны современными процессами. Следы ледниковой деятельности сохранились на востоке, частично в центральной и южной частях площади. В южной части площади листа долины Неплювеема, Эчваляма, Этеткина и истоки рек, впадающих справа в р. Апуквяям, имеют трогообразный характер. Волнистая поверхность со слаженными холмами в долине Неплювеема своим происхождением обязана экзарационной деятельности ледников. Холмы различной формы представляют собой перемытые водами ледников аккумулятивные ледниковые формы. Рельеф, созданный экзарационной деятельностью, представляют собой выровненную поверхность с отдельными слаженными и немногочислен-

ными озерами. Холмы имеют облик бараньих лбов с абсолютными высотами 600–900 м. Здесь же наблюдаются субширотные небольших размеров единичные морены, сложенные валунами, глыбами и мелким обломочным материалом. В долинах Энчайвяма, Пахачи на водораздельных пространствах наблюдаются следы экзарационной деятельности ледников в виде котловин, ритвин, бараньих лбов. Отмечаются также разрозненные остатки моренных холмов и гряд, ориентированные в субширотном направлении.

К концу неогена район представлял собой пленчен, реликты которого фиксируются субгоризонтальными денудационными поверхностями I400–I700 м уровня.

Начало четвертичной эпохи характеризуется интенсивной вулканической деятельностью и накоплением эффузивно-пирокластических образований. С затуханием вулканической деятельности в среднечетвертичное время начинается общее поднятие, с которым связано заложение гидросети.

Середина среднечетвертичного времени характеризуется возобновлением тектонической активности. Северная и южная части района испытывали более интенсивное поднятие по сравнению с центральной частью. К этому же времени в связи с похолоданием климата возникло оледенение горного типа. Наиболее ледниковой переработке был подвергнут участок центральной и южной площади листа.

Новейшие тектонические движения обусловили блоковое воздымание отдельных участков, развитие разрывных нарушений, частичное изменение базиса эрозии и как следствие перестройку гидросети и формирование эрозионно-аккумулятивных террас.

Возникшее в позднечетвертичное время оледенение носило горнодолинный характер. Ледники приспособились к молодой речной сети и, перетекая по седловинам из одной системы в другую, постепенно сглаживая и сравнивая их, двигались с северо-востока на юго-запад, о чем свидетельствуют многочисленные сквозные долины и следы экзарации на склонах и водоразделах. Ледники в северной части площади листа протекали по современным долинам Пипикельнина, Княжеского озера, Гельминвема, Хайнконколава, Озерного на запад в долину Энчайвяма. По долинам Хайнконколава и Эятиткинвяма эти ледники двигались в юго-западном и южном направлениях и у западной рамки листа оба языка, сливаясь в один, перетекали в истоки Вывенки. Ледник двигался также по современной долине Пахачи, постепенно углубляя и расширяя ее. Наибольшие следы ледниковой экзарации сохранились в Пахачинском хребте, о чем свидетельствуют многочисленные троговые долины, цирки, кары, развитые по долинам Кагинпенклава, Вьткони, Бол. и Мал. Эчваляма, Неплювеема, Неплюкума и по правым притокам Апуквяяма.

В начале современной эпохи начинается отступление ледника, сопровождающееся аккумуляцией водно-ледниковых отложений на поверхности экзарации. Затем наступает время относительного тектонического покоя, в течение которого образуются надпойменные террасы. В настоящее время рельефообразование происходит в условиях сохранения нетектонической мобильности при общем поднятии региона.

### ПОЛЕЗНЫЕ ИСКОПАЕМЫЕ

На рассматриваемой территории из горючих ископаемых установлен бурый уголь, из металлических – ртуть, золото, серебро, вольфрам, мышьяк, медь, железо и марганец. Наибольшего внимания из них заслуживают рудопроявления ртути, золота, серебра, вольфрама, меди, относящиеся к гидротермальному и метасоматическому типам, и проявления медно-никелевой минерализации с кобальтом, связанные с интрузиями основного состава позднемелового магматического комплекса. Рудо-контролирующими структурами в северной части района являются зоны складчатых северо-восточных и субширотных надвигов в терригенных отложениях верхнего мела-палеогена, зоны разрывных нарушений и интрузий, развитых вдоль Быньинского глубинного разлома, и центры интрузивных проявлений раннемиоценового магматического комплекса. В южной части района проявления рудной минерализации контролируются разрывными нарушениями сколового характера и массивами вторично-измененных пород вблизи субвуликанических тел. Бурый уголь приурочен к отложениям молассовой формации миоцена (пахачинская свита) и нижним осадочным горизонтам андезито-базальтовой формации плиоцена (корфовская свита).

### ГОРЮЧИЕ ИСКОПАЕМЫЕ

#### Бурый уголь

К корфовской и пахачинской свитам приурочены отдельные пласти и пачки бурого угля. Выявлены четыре проявления, из которых наиболее изучено Эчваильское.

Эчваильское проявление расположено на левом берегу Эчваильма (III-3-3). Оно приурочено к плиоценовым отложениям корфовской свиты и прослеживается в юго-восточном крыле широкой антиклинальной складки, имеющей падение  $160^{\circ} / 35-55^{\circ} 29'$ . В нижней части угленосных отложений залегают (около 200 м) слабо диагенезированные песчано-глинистые породы с пластами малогалечных конгломератов и тонкими прослоями мощностью 0,1-0,3 м блестящего черного угля. Основные

пласти бурого угля приурочены к средней части угленосной толщи (около 500 м), представленной песчано-глинистыми отложениями с большим количеством растительного дегрита и окаменелых обломков древесины. Мощность угольных пластов от I до 16 м. Количество пластов в разрезе не установлено.

Бурый уголь Эчваильского проявления имеет черный цвет с матовым или смолистым блеском в изломе, массивную или слоистую текстуру, неровный ступенчатый излом. При выветривании уголь растрескивается, превращаясь в тонкую торфообразную массу. Самый мощный 16-метровый пласт имеет сложное строение. Он включает в себя до 8-10 прослоев песчанистых глин мощностью 0,05-0,1 м. По данным химического анализа штуковой пробы уголь малозольный и малосернистый с теплотворной способностью 6678 кал.

Маломощные пласти (0,2-0,3 м) бурого угля вскрываются также по правому борту Вьетконга (III-3-I) в нижней части его [31]. Кроме этого, единичные прослой бурого угля мощностью менее 0,2 м отмечались в песчано-глинистых и туфогенно-обломочных породах по р. Ка-гиненклаву (II-3-3). Прослой бурого угля представлен скоплениями обугленных и лигнитизированных растительных остатков или же прослоями черной землистой массы, состоящей из крошки углекислованных остатков растений с примесью песчано-глинистого материала. Эти проявления из-за низкого качества угля и небольшой мощности не рассматриваются в качестве промышленно интересных.

Большая насыщенность углистыми слоями наблюдалась в разрезе пахачинской свиты [32] на левобережье Апавылгина (III-2-2). Мощность прослоев 0,03-0,5-1,0 м, обычно составляет 0,1-0,15 м.

В целом наиболее перспективны на выявление промышленных запасов бурых углей осадочные отложения корфовской свиты, накопление которых происходило в прибрежно-морских условиях теплого до субтропического климата.

### МЕТАЛЛИЧЕСКИЕ ИСКОПАЕМЫЕ

#### Железо, марганец

Рудопроявления железа и марганца приурочены к сантон-кампанским вулканогенно-кремнистым образованиям ватинской серии и относятся к вулканогенно-осадочному типу. Наиболее существенные из них обнаружены по рекам Хайнконколаву, Бол.Хайнконколаву и Пахаче.

Проявление железо-марганцевого оруденения на правобережье Пахачи (II-2-2) вскрывается в двух выходах, отстоящих друг от друга на расстоянии 500-600 м [30]. Первое рудопроявление представлено массивным пластом (до 15 м) черных или красно-бурых железистых

кварцитов тонкозернистых плотных с повышенным удельным весом. Второе мощностью 6–7 м находится в зоне тектонического нарушения, в результате чего железистые кварциты малоинтезированы и при выветривании образуют красно–бурую землистую массу. По простиранию выходы не прослежены, анализов не имеется.

Железо–марганцевое рудопроявление Бол.Хайнконколава (III–I–I) приурочено к пестро окрашенным кварцитам и яшмам [30]. Рудное тело представляет собой небольшую линзу мощность до 1 м, протяженность около 3 м. Вниз по падению ( $360^\circ / 65^\circ$ ) линза уходит под делювиальные развали. Химическим анализом установлено  $\text{Mn} = 8,79\text{--}15,98\%$ .

На левобережном водоразделе Хайнконколава (II–I–3) в линзах кремнистых алевролитов, залегающей среди терригенных отложений вальянской толщи дат–палеогенового возраста, вскрываются (около 1 м) малоинтенсивные (по 0,03–0,05 м) линзообразные прослои железо–марганцевых руд [30]. Они имеют оливковую или массивную текстуру, бурый и красно–бурый цвет, повышенный удельный вес, интенсивно прожилкованы карбонатом. Химическим анализом в них установлено  $\text{Mn} = 0,09\%$ ,  $\text{Fe}$  (общ.) – 28,59%.

Установленные признаки железо–марганцевого оруденения седиментационного типа указывают на возможность обнаружения залежей среди этих руд верхнемеловых вулканогенно–кремнистых образований.

#### Медь, никель

Выявление шесть проявлений медно–никелевой минерализации детально не оценивались. Они располагаются на меандуречье Хайнконколава – Пахачи среди сантон–кампанских вулканогенно–кремнистых образований ватинской серии. Самое западное рудопроявление (II–I–4) локализуется в сильно дробленных серых кварцитах и представлено тонкими (2–3 мм) прожилками и вкрашенностью борнита, малахита и хризоколлы [30]. Медное оруденение (II–2–6) приурочено к экзо– и эндоконтакту дайки роговообманиковых габбро–диоритов в зоне интенсивного дробления, затрагивающего как вмещающие породы, так и дайковое тело. Видимая ширина зоны дробления и гидротермально измененных пород около 1,5 м, установленная протяженность 70 м [30]. Из рудных минералов, присутствуют халькопирит, особенно обильный в измененных туфах ватинской серии. Пострудная минерализация выражена прожилками кварца и барита. Спектральным анализом одной пробы здесь установлено: меди – 2–6%, никеля – 2%, кобальта – 0,25%, серебра – 0,005%. Рудопроявление (II–2–3) приурочено также к дробленым кварцитам нижней толщи ватинской серии [30] и представлено тонкими (2–4 мм) прожилками, сложенными халькопиритом и блеклой рудой.

Большой минерал – кварц. В прожилках и по трещинам наблюдается яркая медная зелень. Рудопроявление (II–2–5) связано с маломощными амбитовыми жилами среди штоков габбройдов [30]. Рудные минералы (халькопирит и борнит) локализуются в залывандах жил в форме вкрашенности и линзовидных скоплений. На правобережье Пахачи рудопроявления (II–2–1 и II–2–4) представлены вкрашенностью халькопирита и медной зелени по трещинам и приурочены в одном случае к габбро, а в другом – к гранодиоритам [30].

В иной структурной обстановке находится рудопроявление меди на правом берегу Пахачи, ниже устья Гельмывеема (I–3–6). Здесь медная минерализация с содержанием металла до 1% в ассоциации с вольфрамом, золотом, серебром приурочена к жильным телам двух типов: кварц–арсенопиритовым и шеелит–халькопирит–пирротиновым. Оруденение связано с зоной ороговикования по осадочным породам мильгернайской свиты и представляет интерес на комплекс металлов, из которых главные золото и вольфрам [22].

В целом выявленные рудопроявления меди в районе нуждаются в дополнительном опоисковании и оценке.

#### Мышьяк

Рудопроявление мышьяка (I–3–6) выявлено на правобережье Пахачи, ниже устья Гельмывеема, и приурочено к дайковому полю гранодиорит–порфиров. Оно представлено секущими жилами кварц–арсенопиритового состава мощностью 0,2–0,5 м и протяженностью 10–80 м [22]. Вмещающие породы – роговики по песчаникам и алевролитам мильгернайской свиты. Среди гипогенных рудных минералов, кроме арсенопирита, определены пирротин, халькопирит, блеклые руды, шеелит, пирит, молибденит, киноварь, тетраглиптит и халькозин, висмутин, касситерит, пентландит. Спектральным анализом в пробах установлены: мышьяк – 1–3%, вольфрам – 0,3–1,0%, медь – 0,1–0,3%, висмут – 0,3%, сурьма – до 0,1%, молибден – до 0,001%, золото и серебро – 0,001–0,003%.

Проявление на правобережье Бол.Хайнконколава (III–I–3) приурочено к зонам гидротермально измененных пород, контролируемых разрывными нарушениями, и представлено мелкими, гнездовыми скоплениями реальгаря по трещинам, насыщающими породу в зоне мощностью до 1 м при видимой протяженности в несколько метров [30]. Спектральным анализом установлены содержания мышьяка 0,6% и ртути 0,2%.

По данным шлихового опробования реальгар встречается в аллювии мелких водотоков района. Наиболее устойчивы ореолы на правобережье верхнего течения (II–I–2) и на левобережье нижнего течения Хайнконколава (III–I–4). Реальгар отмечается в шлиховых пробах в единичных знаках, а иногда с киноварью.

## Вольфрам

Происледения вольфрама установлено на правом склоне долины Пахачи ниже устья Гельмывеема (I-3-6) в пределах развития терригенных отложений мильгернайской свиты верхнего мела, прорванных серией даек гранодиорит-порфиров и ороговикованием на площади 26 км<sup>2</sup> [22]. Здесь выявлено семь линзовидных тел шеелит-халькопирит-пирротиновых руд мощностью 0,2-3,5 м и протяженностью до 35 м и восемь зон трещиноватых обогащенных пород шириной 5-30 м при прослеженной протяженности до 50 м. Содержание вольфрама по данным спектрального анализа в рудных телах варьирует от 0,03 до 1%, в зонах трещиноватости – до 0,01%. Содержание меди в рудных телах достигает 1%. Проявление перспективное, тем более что пространственно совмещается с проявлениями мышьяка, золота и серебра. Установлен устойчивый ореол рассеяния шеелита в аллювиальных притоках водотоков на площади около 30 км<sup>2</sup> (I-3-5). В шлиховых пробах количество шеелита достигает 80-100 знаков. Кроме того, в шлихах обнаружены в единичных знаках золото, киноварь, сфалерит.

Ореолы рассеяния шеелита и вольфрама установлены в аллювиальных притоках Энчайвайма (I-I-3), по правым притокам Эягыткынвальма (II-I-I) и на левобережье Пахачи (III-2-I). Они могут косвенно указывать на присутствие шеелитоносных зон роговиков в связи с интрузиями гранодиорит-порфиров раннемиоценового магматического комплекса.

## Ртуть

Рудопроявления ртути локализуются главным образом в северной части территории. Они прослеживаются в субширотном направлении из бассейна Энчайвайма в бассейн Пахачи и образуют Верхне-Пахачинскую ртутную зону [34]. В пределах зоны рудопроявления контролируются разрывными структурами. Ртутные рудопроявления центральной части зоны, располагающиеся на междуречье Гельмывеема - Пипикельнина объединяются под названием Прокопьевского участка [22]. В пределах участка выявлены четыре проявления, изучавшихся с применением горных работ.

Проявление на правобережье Пипикельнина, вблизи его устья (I-3-1), представлено двумя рудными телами. Одно из них наиболее детально изучено и представляет собой сложную линзообразную залежь в песчано-глинистых отложениях мильгернайской свиты, приуроченную к Пипикельнинскому надвигу, вдоль которого наблюдаются складки волочения. Лежачий бок залежи не имеет четкого контакта с вмещающими породами. Здесь отмечается постепенный переход через зону прожилко-

вых руд к безрудным породам. Сложная форма рудного тела обусловлена неравномерным развитием сколов, неоднократным их подновлением.

Руды высочетого бока наиболее богаты. Они представлены брекчиями, состоящей из обломков песчаников и алевролитов, сцементированных кварц-карбонат-каолинитовым цементом с богатой вкрапленностью киновари. Содержание ртути колеблется от 0,24 до 2,52%, среднее содержание 1,28%. Мощность брекчийных руд 0,2-4 м, средняя мощность 1,37 м, протяженность 25-30 м.

Руды лежачего бока относятся к типу прожилковых. Они представлены сильно раздробленными песчаниками и алевролитами, сцементированными кварц-карбонатным и каолинитовым цементом с бедной вкрапленностью киновари. Содержание ртути 0,08-0,32%, среднее – 0,17%. Мощность прожилковых руд до 9,0 м, средняя – 1,56 м. Мощность данного тела в целом изменяется от 0,1 м в перегибах до 14 м в раздувах при среднем значении 1,2 м, установленная протяженность равна 160 м; простижение 310-330°, падение юго-западное под углом 40-60°.

Вдоль надвига развиты поперечные зоны дробления и брекчирования пород, согласные со структурами верхней чешуи надвига. Протяженность этих зон 10-60 м, мощность 0,1-0,45 м. Содержание ртути в них колеблется от 0,82 до 2,42%, в штуфах до 5,61%, среднее – 1,56%. Характерны брекчевые, брекчиивидные и гнездово-вкрапленные текстуры руд. Околорудные изменения вмещающих пород выражены в аргиллизации, окварцевании и доломитизации. Наличие поднадвигового рудного тела и согласных залежей в структурах складок с богатыми (1-2%) содержаниями ртути позволяет дать положительную оценку рудопроявлению и рекомендовать его для детальных поисково-разведочных работ.

Проявление на водоразделе Гельмывеема и Пипикельнина (I-3-2) представлено двумя сближенными параллельными межпластавыми зонами брекчирования мощностью 0,15 м при протяженности 20 м. Содержание ртути 0,17%. Околорудные изменения вмещающих терригенных пород выражены окварцеванием, карбонатизацией и аргиллизацией.

Проявление в среднем течении Гельмывеема на левом склоне его долины (I-3-3) приурочено к полого падающей (20-50°) секущей зоне брекчирования в терригенных породах мильгернайской свиты верхнего мела. В кварц-доломитовом цементе установлены киноварь и пирит. Мощность зоны изменяется от 0,4 до 0,9 м, простижение 310°, прослеженная длина 70 м. Содержание ртути достигает 9,6%, среднее – 1,25%. при мощности оруденелой части зоны в 0,6 м.

Крайнее западное проявление Прокопьевского участка, расположено на водоразделе в коленообразном изгибе долины Гельмывеема (I-3-4), представлено серией крутопадающих и полого залегающих зон брекчирования. Всего выделено пять рудных тел северо-восточного и

северо-западного простирания мощностью от 0,1 до 4,0 м и прослеженной протяженностью до 210 м. Содержания ртути в пробах колеблются от долей процента до 4,76% и характеризуются крайней неравномерностью распределения.

На западном фланге Верхне-Пахачинской ртутоносной зоны располагается участок "Реликтовый" (I-2-2). Здесь в зоне надвига и ело аллохтона выделяется более 10 рудных тел с содержаниями ртути от 0,05 до 0,98% [22]. Наиболее крупным является рудное тело мощностью 0,7-2,0 м, протяженность 1250 м, залегающее под тектоническим складом и представленное линзообразной залежью брекчированных пород. Простирание субширотное до северо-западного, падение южное и юго-западное под углами от 45 до 70°. Текстуры руд брекчевая и колломорфная; минералы – кварц, доломит, кальцит, рудные – киноварь, реальгар, пирит, халькопирит. Содержание ртути колеблется от 0,04 до 0,98%. Наблюдаются зоны дробления и прожилкования в структуры складок волочения аллохтона.

На северо-восточном продолжении Верхне-Пахачинской зоны установлены два рудопроявления. На левом берегу Пахачи рудопроявление (I-4-2) представлено развалами гидротермально измененных песчаников и алевролитов, содержащих вкрапленность киновари и реальгара. Проявление "Тыкельнинское" (I-4-1), расположенное на водоразделе Пахачи и Тыкельнина, приурочено к зоне разлома северо-восточного простирания среди верхнемеловых отложений мильгернайской свиты. Установлено девять ртутоносных тел мелластового и секущего характера, приуроченных к трещинам субмеридионального простирания. Рудные тела представляют собой брекчию песчаников и алевролитов с карбонато-кварцево-каолинитовым цементом. Мощность тел колеблется от 0,1 до 5,0 м, протяженность от первых метров до 280 м. Маломощные тела характеризуются более высокими содержаниями ртути (до 0,73%).

На обрамлении Верхне-Пахачинской рудной зоны установлен ряд проявлений ртути. К ним относится проявление по р. Якяваяму (I-I-1), приуроченное к высокому контакту дайки дацитов, прорывавшей песчаники импевеемской свиты [30]. В зальбандах дайки наблюдается густая вкрапленность киновари, а вверх по восстанию контакта она смениается самородной ртутью, образующей капли размером до 1 мм. По данным анализов содержание ртути достигает 1,25%. Проявление на правобережье Пахачи (II-3-2) представлено серией прожилков, жил и брекчий кварц-карбонатного состава в песчаниках мильгернайской свиты верхнего мела. Мощность жил до 0,2 м, протяженность – первые метры. Содержания ртути достигают 1,04% [31]. Проявления на левобережье Пахачи, в районе рек Бол. и Мал. Тыкельнина (II-3-1, II-4-1, II-4-4), приурочены к зоне окварцевания, карбонатизации и брекчиро-

вания алевролитов и сланцев мильгернайской свиты северо-восточного простирания [23]. Рудопроявления локализуются в прожилках и жилах брекчиях мощностью до 0,5 м, имеющих кварц-карбонатный и карбонатно-кварцево-каолинитовый состав. Жилы располагаются под углом к общему северо-восточному простиранию зоны, прослеживаясь фрагментами в субмеридиональном и субширотном направлениях. Содержания ртути не превышают 0,68%.

Для другой группы проявлений ртути характерна приуроченность к полям развития вулканогенных образований корфовской свиты плиоценца. К ним относится проявление в верховье Майнгынайвайма (II-4-2) и проявление на юге территории листа в бассейне Немишеема (IV-3-1). Первое находится среди вторичных кварцитов по осадочным породам корфовской свиты и приурочено к зоне дробления мощностью до 0,4 м в форме вкрапленности и примазок киновари [31]. Содержание ртути достигает 0,37%. Второе проявление установлено в северной зоне дробления мощность до 0,3 м среди базальтов корфовской свиты. Базальты в пределах зоны раздроблены, осветлены и сульфицированы. Киноварь находится в тонковкрапленном виде, содержание ртути не превышает 0,09% [32].

В соответствии с особенностями распределения проявлений ртутной минерализации наблюдается нахождение киновари в алловили водотоков района. Наиболее обширный ореол рассеяния занимает северную часть территории, охватывая междууречье Энчайвайма и Пахачи (I-I-2). В его пределах наблюдаются устойчивые единично-знаковые содержания киновари, а вблизи проявлений – знаковые и весовые. Максимальные содержания установлены по р. Гельмывеему (1,5 г/м<sup>3</sup>).

Второй по размеру ореол рассеяния занимает верховья Этвайма и Немишеема (III-3-2). В его пределах содержания киновари не превышают единично-знаковых. Он, по-видимому, обусловлен проявлениями Майнгынайваймского (II-4-2) и Немишеемского (IV-3-1) типа, локализующимися в измененных породах корфовской и ашукской свит [31].

Небольшой ореол с повышенными содержаниями киновари располагается по долине левого притока Энчайвайма (I-2-1). Он приурочен к площади распространения импевеемской свиты и, по-видимому, связан с зонами гидротермальных проявлений в кругопадающих разрывных нарушениях северо-западного и меридионального направлений [22].

#### Сурьма

Сурьма самостоятельного значения в районе не имеет. Те или иные незначительные ее содержания установлены в большинстве рудопроявлений ртути. Кроме того, на правобережье нижнего течения Бол.

Тынельнина (I-4-3) установлены развали кварцевых жил с антимонитом [31]. Содержание сурьмы в штучных пробах достигает 4,36%.

### Золото, серебро

Проявление золота и серебра установлено на правобережье Пахачи, ниже устья Гельминвеема (I-3-6). Оно размещается в терригенных породах вальянской и ляшганайской толщ, контролируется зоной контактово-измененных пород и пространственно совпадает с дайковым полем гранодиорит-порфиров [22]. Рудные тела представлены секущими жилами и зонами прожилкования кварц-арсенопиритового состава мощностью до 0,5 м. Установленная протяженность жил 10-80 м, простирание в основном меридиональное, на восточном фланге - северо-западное и широтное. Среди рудных минералов в жилах определены пирротин, халькопирит, блеклые руды, шеелит, пирит, молибденит, киноварь, бернит и ковеллин, халькоzin, висмутин, кассiterит, пентландит. Содержание золота по данным пробирного анализа колеблется от 0,4 до 23,2 г/т при среднем значении 8,6 г/т на 1 м. Содержание серебра 2,4-55,6 г/т при среднем 9,7 г/т. В аллювии золото не образует скоплений и потоков рассеянник. Единичные плаховые пробы с редкими знаками золота встречаются в бассейнах Энчайвайма и Пахачи.

### Платина

Единичные знаки платины совместно с золотом встречены в двух шлихах из аллювия притоков Хайнконколава. Связаны они, вероятно, с разрывом позднемеловых габбродиоритовых интрузий [28,29].

### НЕМЕТАЛЛИЧЕСКИЕ ИСКОПАЕМЫЕ

#### Барит

Барит в рассматриваемом районе встречается часто, в большинстве случаев он пространственно связан с эфузивно-кремнистыми образованиями ватинской серии, которую он рассекает в виде прожилков и жил. Жилы маломощные, до 0,1 м. Местами наибольшего развития этих прожилков и жил являются левобережье Хайнконколава (Ш-I-5), правый борт долины Бол.Хайнконколава (Ш-I-2) и на правобережье Пахачи, в 3,4 км северо-восточнее г.Поворотной (П-2-7).

### СТРОИТЕЛЬНЫЕ МАТЕРИАЛЫ

Широко развитые в районе изверженные, осадочные и рыхлые породы составляют практически не ограниченные запасы местных строительных материалов. Среди них выделяются развитие во всех долинах песчано-гравийные рыхлые отложения, которые могут быть использованы для дорожных покрытий и как заполнители бетонов; эфузивные и интрузивные породы могут быть применены как блоковый и бутовый камень, источник щебеники. Имеются небольшие залежи известняковых пород и мергеля среди отложений кильпинской свиты. Площади, занятые кремнисто-вулканогенными образованиями верхнемелового возраста, перспективны на поиски кремнисто-карбонатных пород - сырья для силикатных бетонов, гидравлической извести и т.д. На этих же площадях широко развиты ярко окрашенные яшмовидные породы, которые можно использовать в качестве облицовочных, декоративных и поделочных камней.

### ПОДЗЕМНЫЕ ВОДЫ

Гидрогеологические черты района определяются складчатым строением, резко расчлененным рельефом и развитием многолетней мерзлоты.

Надмерзлотные воды имеют повсеместное распространение и приурочены главным образом к рыхлым четвертичным отложениям. Среди них выделяются водоносный горизонт деятельного слоя и аллювиальный водоносный горизонт. По генезису надмерзлотные воды инфильтрационные.

Водоносный горизонт деятельного слоя имеет очень большое площадное распространение. Питание его происходит за счет атмосферных осадков, таяния снега и сезонного оттаивания многолетней мерзлоты. Водообильность горизонта непостоянна и зависит от литологии имеющихся отложений, времени года и экпозиции склона. Весной и летом максимальная, зимой и осенью - минимальная. Наибольшей водообильностью обладают аллювиально-делювиальные и делювиально-пролювиальные отложения. По условиям залегания воды пластово-поровые и пластово-трещинные. Наибольшая мощность водоносного горизонта устанавливается на южных склонах, наименьшая - северных, соответственно 1,5 и 0,5 м, а в долинах крупных рек может достигать нескольких метров (реки Пахача, Энчайвайма). Воды этого горизонта имеют многочисленные выходы на поверхность в виде родничков и источников нисходящего типа, дебит достигает 30 л/с.

Области разгрузки вод являются подножия склонов, основания делювиальных шлейфов, конусов выноса. Практического значения данный водоносный горизонт не имеет, но он играет важную роль в пита-

ним аллювиального горизонта и поверхностных водотоков, в летнее время пригодных для питья и технических целей. Химический состав вод данного горизонта неодинаков. Пересчет анализов проб надмерзлотных вод деятельного слоя по формуле Курлова позволяет подразделить их на следующие типы: гидрокарбонатно-кальциевый тип вод характерен для отложений, развитых в истоках Ильмавеема, на левобережье Ханиконколава; гидрокарбонатно-натриево-кальциевый тип характерен для отложений, развитых в истоках Тынкельнина; гидрокарбонатно-магниевый тип характерен для отложений, развитых в истоках Киялхимаавайма; хлоридно-кальциевый тип характерен для отложений, развитых в истоках правого притока Мал.Аянки.

Содержание  $\text{HCO}_3$  колеблется от 0,49 до 2,61 мг·экв<sup>л</sup>;  $\text{SO}_4$  - 0,17-1,35 мг·экв<sup>л</sup>; С - 0,18-0,52 мг·экв<sup>л</sup>;  $\text{Ca}$  - 0,22-1,14 мг·экв<sup>л</sup>;  $\text{Na} \cdot \text{K}$  - 0,03-3,25 мг·экв<sup>л</sup>;  $\text{Mg}$  - 0,5-0,8 мг·экв<sup>л</sup>. Общая жесткость от 0,8 до 1,26 мг·экв<sup>л</sup>; pH - 5,9-6,8; минерализация 92,6-203 мг/л.

Аллювиальный водоносный горизонт, сложенный аллювием пойм и надпойменных террас, отличается максимальной водоносностью. Режим аллювиального водоносного горизонта тесно связан с климатическими условиями и поверхностными водотоками. Наибольшим распространением аллювиальные отложения пользуются в долине Пахачи, на остальной территории они выполняют узкие долины ручьев и речек. Обычно водоносный горизонт распространен на всю мощность аллювиальных отложений, за исключением первых 1,5-2 м. Литологически горизонт представлен гравийно-галечным и песчано-глинистым материалом, имеющим хорошие условия циркуляции и водообмена. Постоянными источниками питания аллювиальных отложений служат водоносные комплексы коренных пород, слагающих борта речных долин. По сезонам источниками питания являются воды рек и озер. Разгрузка водоносного горизонта происходит у уреза воды в реках, у подножий уступов надпойменных террас, имеется много источников. По условиям залегания воды данного горизонта пластовые.

О наличии водоносных горизонтов в дочетвертичных геологических комплексах данные отсутствуют. Нижняя граница многолетней мерзлоты не установлена. По данным на сопредельной территории листа Р-59-ХIX девять скважин, пробуренных до глубины 257,6 м, не вышли из мерзлых пород.

Изученная территория в целом обеспечена водой. Поверхностные и грунтовые воды района могут использоваться для технических и бытовых целей, а воды сквозных таликов в долинах Пахачи, Тынкельнина, Мал.Аянки и Мал.Вальзна могут являться круглогодичными ресурсами для бытовых и технических целей.

## ОЦЕНКА ПЕРСПЕКТИВ РАЙОНА

Перспективы рассматриваемой территории (рис.4) определяются широким проявлением металлических ископаемых, из которых главнейшими являются ртуть, золото, серебро, медь и вольфрам. Наличие в районе бурых углей указывает на возможность выявления здесь достаточных запасов энергетического сырья. Однако географо-экономическое положение района, удаленность его от промышленно развитых центров страны, отсутствие транспортных связей, суровые климатические условия, относительная удаленность (125 км) от морских транспортных соединений не позволяют рассматривать его в числе первоочередных для развития горнодобывающей промышленности.

Наибольшая часть эндогенных проявлений полезных ископаемых тяготеет к северной, наиболее зеродированной части района и входит в состав Центрально-Корякской металлогенической зоны [13], в пределах которой установлены месторождения олова, ртути и проявления золота и серебра.

На рассматриваемом отрезке этой региональной металлогенической зоны, расположенной между верховьями Энчайвайма и Пахачи, ведущее значение имеет проявления ртути в ее северной части, золота, меди, вольфрама - в центральной. Эти особенности в первую очередь обусловлены распределением магматических комплексов. Для центральной части рассматриваемой площади характерно развитие вулканогенных пород основного состава (ватынская серия) и интрузий основного - умеренно кислого состава, тогда как в северной части магматические породы проявлены в виде редких маломощных даек.

Благоприятным фактором контроля ртутной минерализации, по-видимому, являются субширотные наставки и сопровождающие их поперечные разломы в терригенных отложениях верхнего мела и палеогена. К ним приурочены наиболее перспективные на ртуть участки, в пределах которых установлены протяженные и достаточно мощные рудные тела, залегающие в поднадигитовых структурах отслоения и поперечных разломах аллохтонных частей тектонических членов.

Проявления золото-серебряной, медной и вольфрамовой минерализации располагаются в определенных узлах над предполагаемыми нескрытыми или слабо затронутыми эрозией интрузиями. Свидетельством существования таковых на поверхности являются ореолы ороговикованный и дайковые поля.

На основании комплекса поисковых признаков и предпосылок и с учетом уже проведенных на данной территории исследований для выявления промышленных руд ртути рекомендуется проведение детальных поисковых работ на участках "Реликтовый" (I-2-2) и "Прокопьевский"

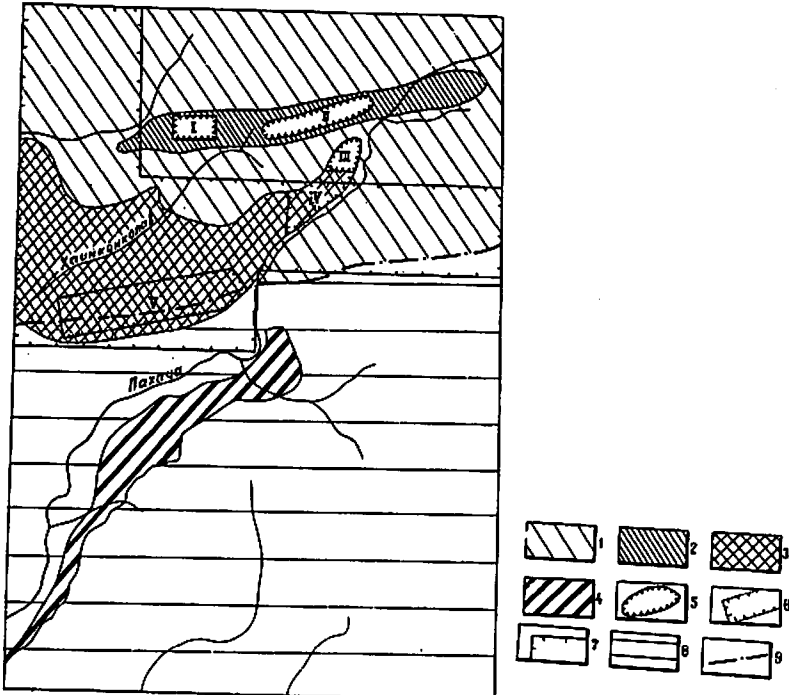


Рис. 4. Схема расположения перспективных площадей

I - Центрально-Корякская металлогеническая зона; 2-4 - площади, перспективные на: 2 - ртуть, 3 - золото, серебро, вольфрам, 4 - бурые угли, 5 - участки, рекомендуемые для проведения детальных поисковых работ на ртуть (I, II), золото, серебро, вольфрам (III); 6 - участки, рекомендуемые для проведения общих поисковых работ на золото, серебро, вольфрам (IV), медь и никель (V); 7 - площади, рекомендуемые для проведения геологосъемочных работ м-ба I:50 000; 8 - малоперспективная территория; 9 - южная граница Центрально-Корякской металлогенической зоны

(I-3-I, 2, 3, 4), где горными выработками вскрыты рудные тела достаточно больших параметров и имеются перспективы как их расширения за счет прослеживания на флангах, так и обнаружения новых.

Наиболее перспективен в отношении золота, серебра, вольфрама участок на правобережье Пахачи (I-3-6), где установлены рудные тела шеелит-халькопирит-пирротинового и кварц-арсенопиритового состава с содержаниями золота до 23 г/т, серебра до 55 г/т и вольфрама до 1%. Проведенные на участке небольшие объемы поисковых работ (канавы - 33 м<sup>3</sup>, опробование - 21 пог.м) явно недостаточны и это рудо-проявление рекомендуется к первоочередному детальному опробованию.

Проявления меди и никеля на междуречье Ханиконколава - Пахачи, а также площади развития вулканогенно-кремнистых пород ватинской серии заслуживают проведения специализированных поисковых работ с целью оценки и выявления медно-порфирового оруденения, особенно на участках развития субвулканических тел и вулканоструктур.

Южная часть территории листа Р-59-ХI, перекрытая полого залегающими вулканогенными толщами плиоценца и антропогена, слабоперспективна в отношении эндогенного оруденения. Палеогеновые и неогеновые отложения перспективны на нефть и газ.

#### ЛИТЕРАТУРА

##### Опубликованная

1. ВАСИЛЕНКО Л.В. Систематический состав и биостратиграфическое значение комплекса фораминифер импинвеемской свиты. В сб.: Опорный разрез маастрихтских отложений центральной части Корякского нагорья. Л., 1971, с. 93-108.

2. ДЕГТАРЕНКО Ю.П. Основные черты геоморфологического строения Корякской горной системы. В сб.: Геология Корякского нагорья. Госнаучиздат, 1963, с. 169-184.

3. ДУНДО О.П., ЕРМАКОВ Б.В., ТАРАСЕНКО Т.В., ЛОПАТИН Б.В. Объяснительная записка к проекту легенды Корякской серии листов (Р-59-ХI, ХIУ, ХI, ХIХ, ХХ, ХХI) Государственной геологической карты СССР м-ба I:200 000. Л., 1971, 29 с.

4. ДУНДО О.П., КОРОТКЕВИЧ В.Д., КОРЕНЬКОВ Г.П. Опорный разрез маастрихтских отложений Центрально-Корякской структурно-фаильной зоны. В сб.: Опорный разрез маастрихтских отложений центральной части Корякского нагорья. Л., 1971, с. 5-51.

5. ЕГИАЗАРОВ Б.Х., КРИШТОФОВИЧ Л.В., ПИЧУГИНА Г.К. Палеогеновые и неогеновые отложения восточной части Олюторского прогиба. В сб.: Геология Корякского нагорья. М., 1963, с. 109-121.

6. ЕГИАЗАРОВ Б.Х. Объяснительная записка к Государственной геологической карте м-ба I:1 000 000 (лист Р-59). М., 1963, 105 с.

7. ЕГИАЗАРОВ Б.Х., ДУНДО О.П. и др. Геология и полезные ископаемые Корякского нагорья. "Недра", 1965, т. 148, 343 с.

8. ЗАКРДЕВСКИЙ Г.А. Объяснительная записка к Государственной геологической карте СССР м-ба I:200 000, лист Р-59-ХI, серия Корякская. "Недра", 1972, 52 с.

9. ЛОПАТИН Б.В. Объяснительная записка к Государственной геологической карте СССР м-ба I:200 000, лист Р-59-XIX, серия Корякская.
10. МИЛЛИК Е.В. Фораминиферы флишевых отложений Восточных Карпат (мел-палеоген). 1970, 360 с. (Тр.ВНИГРИ, вып.282).
11. ТАРАСЕНКО Т.В., ТИТОВ И.Н. Основные черты металлогенesis центральной и юго-западной части Корякского нагорья. В сб.: Материалы по геологии и полезным ископаемым Корякского нагорья. Петропавловск-Камчатский, 1969, с.3-19.
12. ТАРАСЕНКО Т.В., ЛОПАТИН Б.В., ДЕКИН Г.П. К вопросу о тектоническом районировании центральной и юго-западной части Корякского нагорья. В сб.: Материалы по геологии и полезным ископаемым Корякского нагорья Петропавловск-Камчатский, 1969, с.65-82.
13. ТАРАСЕНКО Т.В., МИЛОТИН А.Г., ТИТОВ И.Н. Геолого-экономическая оценка ртутного оруденения Корякского нагорья и Камчатки. В сб.: Геология и полезные ископаемые Корякского нагорья и Камчатки. М., 1971, с.14-26. (Тр.ВЗИИ, вып.68).
14. ТАРАСЕНКО Т.В. Структурно-формационные зоны и размещение полезных ископаемых в Камчатской области. В сб.: Геология и полезные ископаемые Корякского нагорья и Камчатки. М., 1971, с.3-13 (Тр.ВЗИИ, вып.68).
15. Тектоническая карта СССР и сопредельных стран в м-бе I:5 000 000 (объяснительная записка). Редактор Н.С.Шатский. М., 1957, 78 с.
16. ЮСТИНОВ Н.В. Объяснительная записка к Государственной геологической карте СССР м-ба I:200 000, лист Р-59-ХVІ, серия Корякская. М., 1972, 82 с.

Фондовая<sup>x)</sup>

17. БРАМАЕВ В.И., ЕМЕЛИН А.К., ЛОПАТИН Б.В. и др. Отчет о гравиметрической съемке м-ба I:1 000 000, проведенной на территории Камчатской области в 1962-1967 гг. и в 1969 г., т.І (Объяснительная записка к тектонической схеме Камчатской области м-ба I:2 000 000). 1970, № 3125.
18. ДУНДО О.П., ЕРМАКОВ Б.В. и др. Стратиграфия меловых отложений центральной части Корякского нагорья. Отчет по теме 300-б за 1963-1965 гг., 1965, № 1832.

<sup>x)</sup> Хранится в фондах Камчатского ТГУ.

19. ДУНДО О.П. Полевой отчет о работе тематического отряда (Т-237) летом 1961 г., 1961, № 1793.
20. ЕРМАКОВ Б.В., КОЛЯДА А.А. и др. Стратиграфия и методика расчленения терригенного комплекса меловых и палеогеновых отложений Энчайваль-Укалаитского прогиба для уточнения легенды Корякской серии листов среднемасштабных государственных геологических карт СССР. 1972, № 3407.
21. КОНДРАТЬЕВ Г.А. Отчет о работе Лево-Энчайвамской партии (м-б I:100 000) за 1953 г., 1954, № 1024.
22. КУЛЬМЕТОВ Г.Х., СЕМЕНОВ Я.А. и др. Геологическое строение и полезные ископаемые верховья рек Энчайвам и Пахача. Окончательный отчет о геологосъемочных работах м-ба I:50 000, проведенных Галымвеемской партией на территории листов Р-59-75-Б, Р-59-76-А в 1969-1970 гг. 1971, № 3282.
23. КУЛЬМЕТОВ Г.Х., СЕМЕНОВ Я.А. и др. Геологическое строение и полезные ископаемые междууречья Пахача-Апуквам. Окончательный отчет о геологосъемочных работах м-ба I:50 000, проведенных Тыкель-Нинской партией на территории листов Р-59-76-Б, и Р-59-77-А в 1971-1972 гг. 1973, № 3524.
24. ЛОПАТИН Б.В. Отчет о маршрутных геологических исследованиях Корякской тематической партии за 1959 г., 1963, № III4.
25. МАЙКОВ Л.А., БРОНШТЕЙН Б.М., ИВАНОВ В.К., ЧИКОВ Б.М. Отчет о работе Северо-Корякской аэромагнитной партии за 1959 г., 1960, № 01534.
26. МОРОЗ И.Ф., МОРОЗ Т.Ф. Отчет о работе Пахачинской геологосъемочной партии (м-б I:500 000) за 1958-1959 гг., № 0864.
27. МОРОЗ Т.Ф., ШЕГОЛЕВ А.П. Отчет Эуденской геологосъемочной партии (м-б I:200 000) за 1959 г., 1960, № II136.
28. ПОГОЖЕВ А.Г. Отчет о результатах работ Верхне-Энчайвамской геолого-рекогносцировочной партии (м-б I:500 000) за 1952 г., 1955, № 1025.
29. ПОГОЖЕВ А.Г., САДРЕЕВ А.М. Отчет о работе Верхне-Пахачинской геологосъемочной партии (м-б I:500 000) за 1956 г. 1957, № 1041.
30. ПОГОЖЕВ А.Г., РЕЗНИК Ю.М., ГУСЕВА Т.В. Отчет о результатах работ Ханконколавской геологосъемочной партии (м-б I:200 000) за 1962 г. 1963, № III7.
31. ПОГОЖЕВ А.Г., РЕЗНИК Ю.М. Отчет о результатах работ 2-й Ханконколавской геологосъемочной партии м-ба I:200 000 за 1963 г. 1964, № 1328.
32. ПОГОЖЕВ А.Г., РЕЗНИК Ю.М. и др. Геологическое строение и полезные ископаемые междууречья Пахачи - Апуквам. Отчет о результатах работ 3-й геологосъемочной партии м-ба I:200 000 в южной части территории листа Р-59-ХХ за 1964 г. 1966, № 1781.

33. ПОЗДНЕНКЕВ А.И., ПОВЕРИНОВ Г., ВОКВОДИН Б.В. Геологическое строение и полезные ископаемые бассейнов верхнего течения рек Учхичилья, Импенвеема, Энчайвилья. Окончательный отчет Учхичильской геологосъемочной партии (м-б I:200 000) на территории листа Р-59-ХIV за 1966-1969 гг. 1970, № 3127.

34. ТИТОВ И.Н., ДАНИЛОВ И.И., ТАРАСЕНКО Т.В., МАНУЧАРЯНЦ Б.О. Отчет по теме Б. 1. 4 84 - 7/56. Перспективная оценка различных типов ртутного оруденения Камчатской области за 1972-1975 гг., 1975, № 3813.

35. ЯРМОЛИК В.А. и др. Геологические исследования в Олаторском районе Камчатской области в 1952 г. Отчет объединенной группы геологосъемочных партий № 21, 22, 23 экспедиции № 3 КПГУ. 1953, № 3.

## Приложение

### Список

проявлений полезных ископаемых, показанных на листе Р-59-ХХ карты полезных ископаемых м-ба I:200 000

Индекс клетки на карте	№ на карте	Вид полезного ископаемого и название (местонахождение) проявления	Ссылка на литературу (номера по списку литературы)	Примечание
I	2	3	4	5

### ГОРОЮЧИЕ ИСКОПАЕМЫЕ

#### Твердые горючие ископаемые

##### Бурый уголь

II-3	3	Нижнее течение Кагинен-клава	31	В коренном залегании
III-2	2	Левобережье Алакылгина	32	то же
III-3	1	Правый берег Вьетконы	31	" "
III-3	3	В нижнем течении на левом берегу Эчвайма	29	" "

### МЕТАЛЛИЧЕСКИЕ ИСКОПАЕМЫЕ

#### Черные металлы

##### Железо, марганец

II-1	3	Левобережье Ханиконколава	30	" "
II-2	2	Правобережье Пахачи	30	" "
III-1	1	Нижнее течение Больш. Ханикон-колава	30	" "

	I	2	3	4	5
Ц в е т н и е м е т а л л и					
Медь					
I-3	6	Правобережье Пахачи, ниже устья Гельмывеема	22,29	В коренном залегании совместно с никелем	
II-I	4	Левобережье Ханиконколава	30	В коренном залегании	
II-2	I	Правобережье Пахачи	30	В коренном залегании	
II-2	3	Левые истоки Ханиконколава	30	- " - " -	
II-2	4	Правобережье Пахачи	30	- " - " -	
II-2	5	Левые истоки Ханиконколава	30	- " - " -	
II-2	6	Левые истоки Бол.Ханиконколава	30	В коренном залегании совместно с никелем и кобальтом	
Миньак					
I-3	6	Правобережье Пахачи, ниже устья Гельмывеема	22,29	В коренном залегании совместно с золотом, серебром	
II-I	2	Верхнее течение Ханиконколава	30	Шлиховой ореол	
III-I	3	Правобережье Бол.Ханиконколава	30	В коренном залегании	
III-I	4	Левобережье нижнего течения Ханиконколава	30	Шлиховой ореол	
Р е д к и е м е т а л л и р а с с е я н и е э л е м е н т и					
Вольфрам					
I-I	3	Левые притоки Энчайвайма	30	Шлиховой ореол	
I-3	5	Правобережье Пахачи	22,29	То же	
I-3	6	Правобережье устья Гельмывеема	22	В коренном залегании совместно с мелью, золотом, серебром	
II-I	I	Правые притоки Энчайвайма	30	Шлиховой ореол	
III-2	I	Левобережье Пахачи р.Ашаныгин	32	То же	

	I	2	3	4	5
Ртуть					
Деливиально-эливиальные В коренном залегании					
I-I	I	р.Якквайм	30	В коренном залегании	
I-I,	2	Междуречье Энчайвайма и Пахачи	21,22 30,31	Шлиховой ореол	
I-2,					
I-3,					
I-4,					
II-1,					
II-2,					
II-3,					
II-4,					
III-1,					
III-2,					
III-3,					
IV-1,					
IV-2,					
IV-3,					
IV-4,					
V-1,					
V-2,					
V-3,					
V-4,					
V-5,					
V-6,					
V-7,					
V-8,					
V-9,					
V-10,					
V-11,					
V-12,					
V-13,					
V-14,					
V-15,					
V-16,					
V-17,					
V-18,					
V-19,					
V-20,					
V-21,					
V-22,					
V-23,					
V-24,					
V-25,					
V-26,					
V-27,					
V-28,					
V-29,					
V-30,					
V-31,					
V-32,					
V-33,					
V-34,					
V-35,					
V-36,					
V-37,					
V-38,					
V-39,					
V-40,					
V-41,					
V-42,					
V-43,					
V-44,					
V-45,					
V-46,					
V-47,					
V-48,					
V-49,					
V-50,					
V-51,					
V-52,					
V-53,					
V-54,					
V-55,					
V-56,					
V-57,					
V-58,					
V-59,					
V-60,					
V-61,					
V-62,					
V-63,					
V-64,					
V-65,					
V-66,					
V-67,					
V-68,					
V-69,					
V-70,					
V-71,					
V-72,					
V-73,					
V-74,					
V-75,					
V-76,					
V-77,					
V-78,					
V-79,					
V-80,					
V-81,					
V-82,					
V-83,					
V-84,					
V-85,					
V-86,					
V-87,					
V-88,					
V-89,					
V-90,					
V-91,					
V-92,					
V-93,					
V-94,					
V-95,					
V-96,					
V-97,					
V-98,					
V-99,					
V-100,					
V-101,					
V-102,					
V-103,					
V-104,					
V-105,					
V-106,					
V-107,					
V-108,					
V-109,					
V-110,					
V-111,					
V-112,					
V-113,					
V-114,					
V-115,					
V-116,					
V-117,					
V-118,					
V-119,					
V-120,					
V-121,					
V-122,					
V-123,					
V-124,					
V-125,					
V-126,					
V-127,					
V-128,					
V-129,					
V-130,					
V-131,					
V-132,					
V-133,					
V-134,					
V-135,					
V-136,					
V-137,					
V-138,					
V-139,					
V-140,					
V-141,					
V-142,					
V-143,					
V-144,					
V-145,					
V-146,					
V-147,					
V-148,					
V-149,					
V-150,					
V-151,					
V-152,					
V-153,					
V-154,					
V-155,					
V-156,					
V-157,					
V-158,					
V-159,					
V-160,					
V-161,					
V-162,					
V-163,					
V-164,					
V-165,					
V-166,					
V-167,					
V-168,					
V-169,					
V-170,					
V-171,					
V-172,					
V-173,					
V-174,					
V-175,					
V-176,					
V-177,					
V-178,					
V-179,					
V-180,					
V-181,					
V-182,					
V-183,					
V-184,					
V-185,					
V-186,					
V-187,					
V-188,					
V-189,					
V-190,					
V-191,					
V-192,					
V-193,					
V-194,					
V-195,					
V-196,					
V-197,					
V-198,					
V-199,					
V-200,					
V-201,					
V-202,					
V-203,					
V-204,					
V-205,					
V-206,					
V-207,					
V-208,					
V-209,					
V-210,					
V-211,					
V-212,					
V-213,					
V-214,					
V-215,					
V-216,					
V-217,					
V-218,					
V-219,					
V-220,					
V-221,					
V-222,					
V-223,					
V-224,					
V-225,					
V-226,					
V-227,					
V-228,					
V-229,					
V-230,					
V-231,					
V-232,					
V-233,					
V-234,					
V-235,					
V-236,					
V-237,					
V-238,					
V-239,					
V-240,					
V-241,					
V-242,					
V-243,					
V-244,					
V-245,					
V-246,					
V-247,					
V-248,					
V-249,					
V-250,					
V-251,					
V-252,					
V-253,					
V-254,					
V-255,					
V-256,					
V-257,					
V-258,					
V-259,					
V-260,			</td		

1	2	3	4	5
---	---	---	---	---

Сурьма

I-4 | 3 | Правобережье Бол.Тыкалькина | ЗI | Развалы

Благородные металлы

Золото, серебро

I-3 | 6 | Правобережье Пахачи, ниже  
устыя Гельмивеема | 22 | В коренном за-  
легании

НЕМЕТАЛЛИЧЕСКИЕ ИСКОПАЕМЫЕ

Барит

II-2	7	Правобережье Пахачи, в 3- 4 км северо-восточнее г.По- воротной	30
III-I	2	Правый борт долины Бол.Хани- конколава	30
III-I	5	Левобережье Ханиконколава	30